

Пояснительная записка

Вычислительные техники решения задач линейного программирования в частично-целочисленной постановке и приемы работы с решателем SCIP

Подвойский А.О.

Содержание

1	Ключевые термины и определения	2
2	Ключевые компоненты платформы SCIP	3
2.1	Решатель SCIP. Общие сведения	3
2.1.1	Установка решателя SCIP	3
2.1.2	Приемы работы с решателем SCIP в интерактивной оболочке <code>scip</code>	3
2.1.3	Приемы работы с решателем SCIP через обертку <code>PySCIPOpt</code>	3
2.2	Декомпозиционный решатель GCG. Общие сведения	3
2.2.1	Установка решателя GCG	4
2.2.2	Приемы работы с решателем GCG в интерактивной оболочке <code>gcg</code>	4
2.2.3	Приемы работы с решателем GCG через обертку <code>PyGCGOpt</code>	4
3	Выявленные баги SCIP и тонкости процедуры поиска решения	4
3.1	Недопустимое решение для релаксированной постановки задачи	4
3.2	Неединственность релаксированного решения	5
3.3	Замечание о стабильности работы решателя SCIP на различных операционных системах	5
4	Приемы поиска решения	5
4.1	Прием фиксации бинарно-целочисленных переменных в релаксированном решении	5
4.2	Прием подавления подгруппы первичных эвристик низкой эффективности	6
4.3	Прием подбора порога бинаризации для бинарных переменных в релаксированном решении	7
5	Методы машинного обучения в задачах комбинаторной оптимизации	9
5.1	Постановка задачи	9
5.2	Концепт матрицы признакового описания бинарных и целочисленных переменных	9
5.3	Стратегии решения задачи	10
5.3.1	Стратегия №1. Обнаружение аномалий	10
5.3.2	Стратегия №2. Бинарная классификация со слабо выраженным миноритарным классом	12

6	Описание вычислительных экспериментов на сценариях группы ИКП	12
6.1	Поиск решения на сценариях <i>без</i> бинарных переменных.	
	Метаконфигурация SUN	12
6.1.1	Сценарий F398266B без бинарных переменных	13
6.1.2	Сценарий 50197DF7 без бинарных переменных	14
6.1.3	Сценарий 7FAC4231 без бинарных переменных	15
6.1.4	Сценарий CA485A55 без бинарных переменных	17
6.1.5	Сценарий 276 без бинарных переменных	18
6.1.6	Сценарий 337 без бинарных переменных	20
6.1.7	Сценарий 13D686AB без бинарных переменных	20
6.1.8	Сценарий A78CBEAD без бинарных переменных	21
6.2	Поиск решения на сценариях <i>с</i> бинарными переменными.	
	Метаконфигурация FZBIVSUNPB	23
6.2.1	Сценарий A78CBEAD с бинарными переменными	24
6.2.2	Сценарий 7FAC4231 с бинарными переменными	26
6.2.3	Сценарий 50197DF7 с бинарными переменными	27
6.2.4	Сценарий F398266B с бинарными переменными	29
6.2.5	Сценарий 337 с бинарными переменными	30
6.3	Поиск решения на базе методов машинного и глубокого обучения	36
6.3.1	Простое декартово произведение сценариев <i>с</i> бинарными переменными	36
7	Описание вычислительных экспериментов на сценариях группы МВО	36
8	Описание вычислительных экспериментов на сценариях MIPLIB 2017	36
8.1	Сценарии со статусом «open»	36
8.1.1	Сценарий DLR2	36
8.1.2	Сценарий CVRPA-N64K9VRPI	36
8.2	Сценарии со статусом «hard»	36
8.2.1	Сценарий CRYPTANALYSISKB128N50BJ14	36
8.3	Сценарии со статусом «easy»	36
8.3.1	Сценарий NEOS-4332801-seret	36
	Список иллюстраций	37
	Список таблиц	38
	Список литературы	38

1. Ключевые термины и определения

Сценарий – это математическая постановка задачи, описанная в терминах математического программирования (например, линейного)

Сценарий обучающего поднабора – это сценарий из коллекции сценариев, которые используются на обучающей фазе алгоритма машинного обучения

Сценарий тестового поднабора – это сценарий, который используется для построения прогноза с помощью алгоритма машинного обучения

2. Ключевые компоненты платформы SCIP

2.1. Решатель SCIP. Общие сведения

SCIP (Solving Constraint Integer Programs) <https://www.scipopt.org/> – решатель, предназначенный для решения задач *линейного* и *нелинейного* программирования в частично-целочисленной постановке.

2.1.1. Установка решателя SCIP

Решатель проще всего установить вместе с оберткой PySCIPOpt <https://github.com/scipopt/PySCIPOpt> с помощью менеджеров `pip` или `conda`

```
$ pip install pyscipopt
$ conda install -c conda-forge pyscipopt
```

2.1.2. Приемы работы с решателем SCIP в интерактивной оболочке `scip`

2.1.3. Приемы работы с решателем SCIP через обертку PySCIPOpt

Работа над задачей начинается с создания пустого экземпляра модели

```
import pyscipopt

model = pyscipopt.Model()
```

На созданном экземпляре можно вызывать методы чтения модели, конфигурационного файла параметров решателя и т.д.

```
model.readProblem("./problem.lp")
model.readParams("./scip.set")
...
```

2.2. Декомпозиционный решатель GCG. Общие сведения

GCG <https://gcg.or.rwth-aachen.de/#about> – это универсальный декомпозиционный решатель для задач линейного программирования в частично-целочисленной постановке, расширяющий возможности базового решателя SCIP.

Он выявляет структуры в модели, к которым могут быть применены *переформулировка Данцига-Вольфе* или *декомпозиция Бендера*.

Модифицированная постановка задачи (после переформулировки Данцига-Вольфе) решается с помощью обобщения метода ветвей-и-границ, а именно с помощью метода ветвей-штрафов-секущих (*branch-price-and-cut*), включающего различные механизмы поиска решения – превичные эвристики, стратегии ветвления, стратегии стабилизации, стратегии назначения штрафов и пр.

2.2.1. Установка решателя GCG

Проще всего решатель установить вместе с оберткой PyGCGOpt <https://github.com/scipopt/PyGCGOpt> с помощью менеджера пакетов conda

```
$ conda install -c conda-forge pygcgopt
```

2.2.2. Приемы работы с решателем GCG в интерактивной оболочке gcg

Прочитать постановку задачи

```
GCG> read problem.lp
```

Запустить процедуру редуцирования размерности

```
GCG> presolve
```

Запустить процедуру поиска структур в матрице ограничений

```
GCG> detect
```

Записать постановку задачи сниженной размерности для gnuplot

```
GCG> write problem problem_reduced.gp
```

Фрагмент gp-файла

```
set encoding utf8
set terminal pdf
set output "problem_reduced.pdf"
set xrange [-1:506441]
set yrange[347788:-1]
set object 1 rect from 0,0 to 506441,183384 fc rgb "#1340C7"
set object 3 rect from 163304,183384 to 163306,183385 fc rgb "#718CDB"
set object 4 rect from 163306,183385 to 163308,183386 fc rgb "#718CDB"
set object 5 rect from 163308,183386 to 163310,183387 fc rgb "#718CDB"
set object 6 rect from 163310,183387 to 163312,183388 fc rgb "#718CDB"
set object 7 rect from 163312,183388 to 163314,183389 fc rgb "#718CDB"
set object 8 rect from 163314,183389 to 163316,183390 fc rgb "#718CDB"
set object 9 rect from 163316,183390 to 163318,183391 fc rgb "#718CDB"
set object 10 rect from 163318,183391 to 163320,183392 fc rgb "#718CDB"
set object 11 rect from 163320,183392 to 163322,183393 fc rgb "#718CDB"
...
```

Создать pdf-файл декомпозиции задачи после шага снижения размерности

```
$ gnuplot problem_reduced.gp
```

2.2.3. Приемы работы с решателем GCG через обертку PyGCGOpt

3. Выявленные баги SCIP и тонкости процедуры поиска решения

3.1. Недопустимое решение для релаксированной постановки задачи

По состоянию на 18.06.2022 г. решатель SCIP версии 8.0.0 с оберткой PySCIPOpt версий 4.0.0 и 4.2.0 для операционной системы Windows 10 *релаксированную постановку задачи* (т.е. при снятых ограничениях на целочисленность переменных) оценивает как неспособную привести к допустимому решению.

SCIP версии 7.0.3 (PySCIPOpt 3.4.0) как на операционной системе Windows 10, так и на Unix-подобных операционных системах (в частности, MacOS Monterey 12.1 и Linux Centos 7) решает задачу в релаксированной постановке корректно.

3.2. Неединственность релаксированного решения

Если эвристические приемы строятся на базе релаксированного решения задачи, важно помнить, что релаксированные решения, полученные с помощью различных решателей с точки зрения распределения значений переменных могут существенно различаться¹, не смотря на то, что во всех случаях зазор будет нулевым и целевая функция будет иметь одно и тоже значение (с оговоркой на допуск точности решателя).

3.3. Замечание о стабильности работы решателя SCIP на различных операционных системах

- Вычислительные эксперименты проводились на трех версиях решателя SCIP (7.0.0, 7.0.3, 8.0.0) и трех платформах: Windows 10, MacOS (Monterey 12), Linux (Centos 7). Разброс времени поиска решения для каждой конфигурации решателя оценивается минимум по 3 запускам сценария
- На текущий момент наиболее стабильные и наиболее адекватные результаты получаются
 - для ОС Linux (Centos 7) и ОС MacOS (Monterey12) на решателе SCIP версии 7.0.3 (обертка PySCIPOpt 3.4.0) и платформе Ecolle версии 0.7.3, собранных для однопоточной реализации
 - для ОС Windows 10 на решателе SCIP версии 8.0.0 (обертка PySCIPOpt 4.0.0), собранном для однопоточной реализации
- Последняя доступная версия решателя SCIP 8.0.0 (PySCIPOpt 4.1.0) на MacOS (Monterey 12.1) и Linux (Centos 7) при тех же настройках, что и для SCIP версии 7.0.3, как правило, работает значительно медленнее (2.5-2.85 раза) и в большинстве случаев либо не успевает найти решение за отведенное время, либо «просаживает» целевую функцию

4. Приемы поиска решения

4.1. Прием фиксации бинарно-целочисленных переменных в релаксированном решении

Часто фиксация целочисленных переменных² в релаксированном решении приводит к приемлемому допустимому целочисленному решению, которое потом можно использовать как «теплый старат» или как базовое решение для других схем фиксации.

```
ZERO = 0.0
...
relax_sol: pd.Series = read_relax_sol(path_to_relax_sol)

model = pyscipopt.Model()
model.readProblem(path_to_lp_file)
model.readParams(path_to_set_file)
```

¹Потому как гиперплоскость целевой функции может касаться политопа не в вершине, а по грани

²Вообще говоря, фиксировать можно не только бинарные и целочисленные переменные

```

all_vars: t.List[pyscipopt.scip.Variable] = model.getVars()
bin_vars: t.List[pyscipopt.scip.Variable] = extract_vars_set_type(all_vars, BINARY)
int_vars: t.List[pyscipopt.scip.Variable] = extract_vars_set_type(all_vars, INTEGER)

all_zero_bin_vars: t.List[
    pyscipopt.scip.Variable
] = extract_from_relax_sol_zero_vars(
    relax_sol,
    sub_group_vars=bin_vars,
)
all_zero_int_vars: t.List[
    pyscipopt.scip.Variable
] = extract_from_relax_sol_zero_vars(
    relax_sol,
    sub_group_vars=int_vars,
)

for var in all_zero_bin_vars + all_zero_int_vars:
    model.fixVar(var, ZERO)

model.optimize()
...

```

4.2. Прием подавления подгруппы первичных эвристик низкой эффективности

В некоторых случаях отдельные первичные эвристики могут оказаться не способными справиться со своей задачей, не оказывая никакого влияния на процедуру поиска решения, и все же потреблять предоставленные ресурсы.

Такие эвристики – условимся их называть первичными эвристиками низкой эффективности (ПЭНЭ) – можно выявить путем анализа статистической сводки **stat**-файла в разделе Primal Heuristics

Фрагмент файла статистической сводки 337_bin_default.stat

```

...
Primal Heuristics :   ExecTime  SetupTime      Calls      Found      Best
LP solutions      :         0.00         -         -         0         0
relax solutions   :         0.00         -         -         0         0
pseudo solutions  :         0.00         -         -         0         0
...
conflictdiving    :         0.00         0.00         0         0         0
crossover         :         0.00         0.00         0         0         0
dins              :         0.00         0.00         0         0         0
distributiondivin :         0.00         0.00         0         0         0
dualval           :         0.00         0.00         0         0         0
farkasdiving      :        2032.89         0.00         1         0         0 # <- NB
feasumpump        :         882.12         0.00         1         0         0 # <- NB
fixandinfer       :         0.00         0.00         0         0         0
...
intdiving         :         0.00         0.00         0         0         0
intshifting       :         52.99         0.00         1         1         1
...

```

В данном случае ПЭНЭ являются `farkasdiving` и `feaspump`. Чтобы подавить эти эвристики при следующем запуске `SCIP`, достаточно включить следующие строки в конфигурационный файл `scip.set`³

`scip.set`

```
...
heuristics/farkasdiving/freq = -1
heuristics/feaspump/freq = -1
...
```

Доступ к статистической сводке можно получить либо в сессии `SCIP`, либо через одну из оберток над решателем (например, с помощью `PySCIPOpt`)

Фрагмент сессии `scip`. Получение статистической сводки

```
...
SCIP> read file.lp
SCIP> opt
SCIP> display stat
```

Получение статистической сводки через обертку `PySCIPOpt`

```
import pyscipopt

model = pyscipopt.Model()
model.readProblem("...")
model.readParams("...")
model.optimize()

model.printStatistics()
```

4.3. Прием подбора порога бинаризации для бинарных переменных в релаксированном решении

Условимся *фиксацией* называть стратегию инициализации подгруппы переменных x_k (вещественных, бинарных или целочисленных), значения которых задаются на основе каких-либо эвристических соображений, например, касающихся специальных свойств матрицы ограничений, и способных в результате привести к такой постановке задачи, которую, используя механизмы первичных эвристик, сепараторов, пропагаторов и пр. можно развить в *допустимое целочисленное решение*.

Базовая идея построения *фиксации на бинарных переменных* заключается в том, чтобы значения бинарных переменных в релаксированном решении⁴ $\{r x_k^{(b)}\}_{k=1,\dots}$ интерпретировать как *степень уверенности* решателя в том, что рассматриваемую бинарную переменную можно выставить в единицу.

Если значение k -ой бинарной переменной $r x_k^{(b)}$ превосходит некоторый *порог* θ , то переменная выставляется в единицу, в противном случае – в ноль. Порог подбирается итерационно, начиная с некоторого нижнего значения θ_l (по умолчанию $\theta_l = 0$), увеличивая текущее значение порога на величину шага $\Delta\theta$ и заканчивая верхним значением порога θ_u (по умолчанию $\theta_u = 1$).

³При запуске интерактивной сессии через утилиту командной строки `scip`, решатель ищет этот файл в текущей директории и, если находит, автоматически вычитывает. При работе через `PySCIPOpt` требуется явно передавать путь до файла методу модели `readParams()`

⁴Верхний левый индекс « r » указывает на релаксированное значение, а верхний правый « (b) » – на то, что речь идет о бинарной переменной

Для практических целей достаточно остановиться на наименьшем значении порога θ , который отвечает такой фиксации, которую решатель SCIP не отклоняет как неспособную привести к допустимому целочисленному решению.

Фрагмент лога решателя SCIP для случая фиксации, которую невозможно развить в допустимое целочисленное решение

```
...
SCIP Status      : problem is solved [infeasible]
Solving Time (sec) : 3.00
Solving Nodes    : 0
Primal Bound     : +1.00000000000000e+20 (0 solutions)
Dual Bound       : +1.00000000000000e+20
Gap              : 0.00 %
original problem has 740251 variables (2666 bin, 147789 int, 0 impl, 589796 cont) and 545350
constraints
...
```

После того как порог θ подобран, бинарные переменные разбиваются на две подгруппы: подгруппу бинарных переменных, выставленных в ноль $\{x_k^{(b_0)}\}$, и подгруппу бинарных переменных, выставленных в единицу $\{x_k^{(b_1)}\}$. Долю бинарных переменных, выставленных в ноль обозначим через δ_{b_0} , долю бинарных переменных, выставленных в единицу – через δ_{b_1} , а целевую функцию, найденную при заданных долях – через $f_\theta(\delta_{b_0}, \delta_{b_1})$.

В результате получаем исследовательский инструмент, который дает возможность управлять решением через подбор долей δ_{b_0} и δ_{b_1} при найденном пороге θ . Часто оказывается эффективным прием управления решением через подбор доли нулевых бинарных переменных δ_{b_0} .

Целевая функция, вычисленная при единичной доле нулевых бинарных переменных $f_\theta(\delta_{b_0} = 1)$, как правило, значительно уступает целевой функции релаксированного решения f_r . Но тем не менее это решение может быть улучшено, сокращением доли δ_{b_0} (см. рис. 1 и рис. 2).

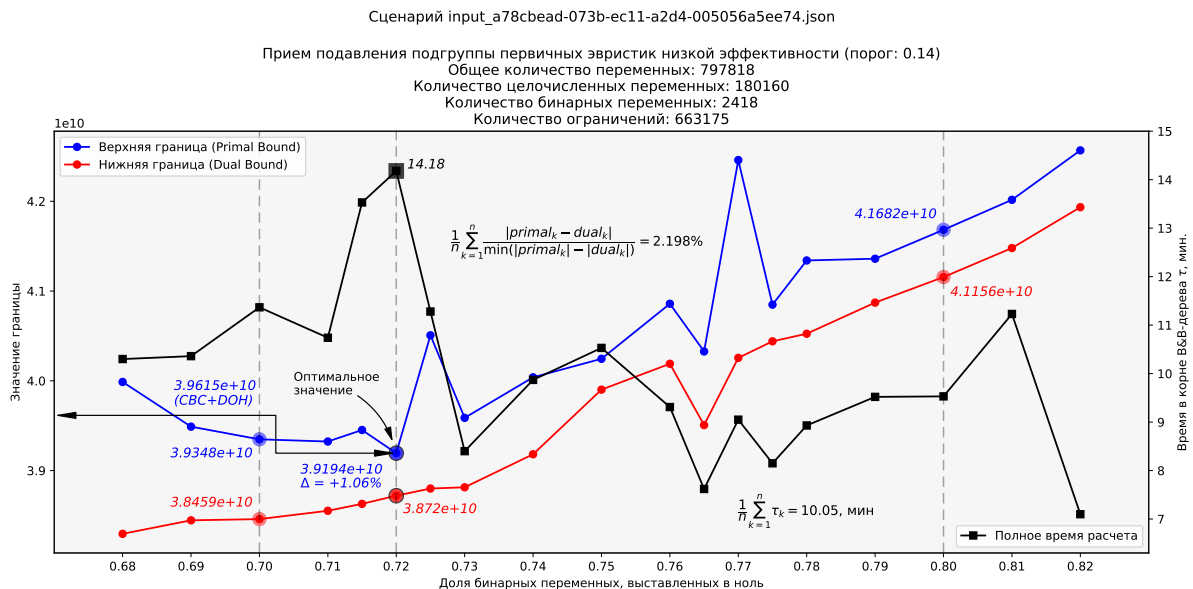


Рис. 1. Зависимость верхней границы решения от доли бинарных переменных, выставленных в ноль. Сценарий a78cbead

Как видно из графиков, на кривой изменения верхней границы решения существует точка с наименьшим значением целевой функции $f_\theta(\delta_{b_0})$ допустимого целочисленного решения. Эта точка и будет «оптимальной» для рассматриваемого сценария.

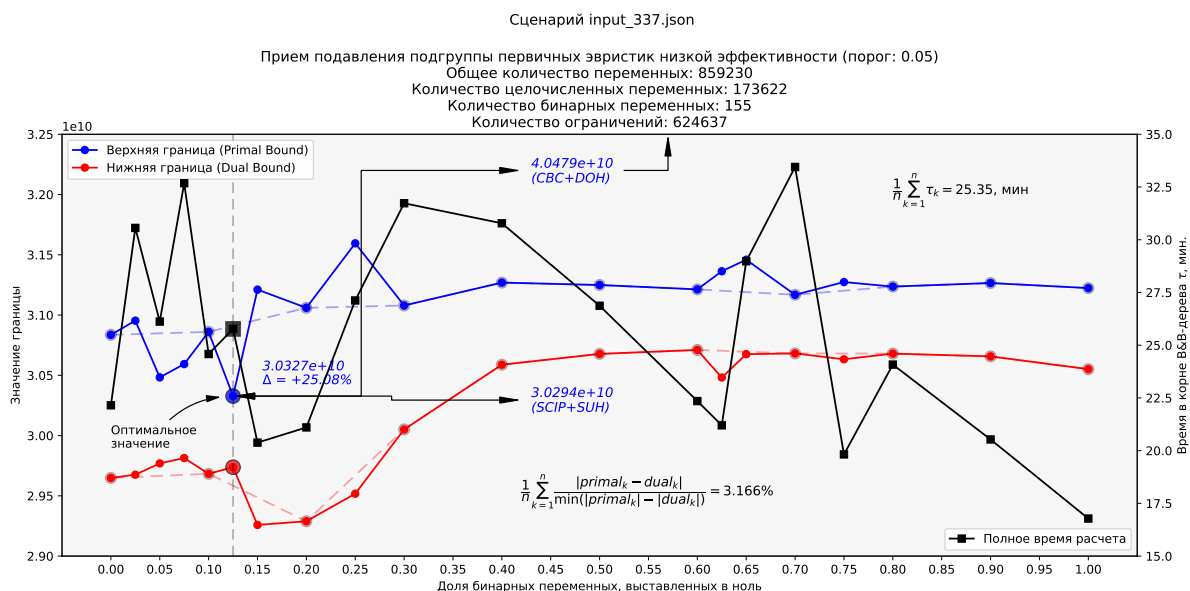


Рис. 2. Зависимость верхней границы решения от доли бинарных переменных, выставленных в ноль. Сценарий 337

5. Методы машинного обучения в задачах комбинаторной оптимизации

5.1. Постановка задачи

Цель: Разработать процедуру построения частично-заданного решения на фиксациях для сценариев с матрицей ограничений произвольной структуры.

Вход: произвольная матрица ограничений⁵.

Выход: набор бинарных и целочисленных переменных, фиксация которых в ноль с высокой вероятностью приведет к допустимому целочисленному решению.

База: частично-заданное решение, построенное на фиксациях нулевых бинарных и целочисленных переменных в релаксированном решении.

5.2. Концепт матрицы признаков описания бинарных и целочисленных переменных

В качестве признаков бинарно-целочисленных переменных предлагается использовать:

1. Значение переменной x_i в «усредненном» релаксированном решении⁶,
2. Модифицированную Z-оценку на «усредненном» релаксированном решении,
3. Дробную часть значения переменной x_i в «усредненном» релаксированном решении,
4. Пороги бинаризации на «усредненном» релаксированном решении (каждый порог это отдельный признак),
5. Число ограничений n_i , в которые входит рассматриваемая переменная x_i ,
6. Число положительных n_i^+ и отрицательных n_i^- коэффициентов в ограничениях, ассоциированных с рассматриваемой переменной x_i ,
7. Булев маркер удаления переменной x_i после шага снижения размерности задачи,

⁵Предполагается, что матрица ограничений имеет низкую меру обусловленности

⁶Задача линейного программирования в релаксированной постановке решается с использованием различных методов (двойственный симплекс-метод, метод внутренней точки и т.д.), а затем полученные решения усредняются

8. Коэффициент c_i при переменной x_i в целевой функции $\mathbf{c}^T \mathbf{x}$,
9. Вероятность⁷ того, что i -ая бинарная или целочисленная переменная x_i будет выставлена в 1 (индекс « $-i$ » означает без учета i -ой переменной)

$$\mathbf{P}(x_i = 1) = \sigma\left(\frac{1}{t}(\mathbf{c}^T \mathbf{x})_{-i}\right),$$

где σ – логистический сигмоид, t – «температура» (чем выше температура, тем случайнее выход), \mathbf{c} – вектор коэффициентов целевой функции, \mathbf{x} – вектор переменных.

10. Важность x_i переменной с точки зрения пресолверов.

5.3. Стратегии решения задачи

5.3.1. Стратегия №1. Обнаружение аномалий

Задачу построения частично-заданного решения на фиксациях предлагается свести к задаче обнаружения аномалий в данных. Бинарные и целочисленные переменные, которые как ожидается примут *нулевые значения* в допустимом целочисленном решении будем считать «штатным» режимом, а бинарные и целочисленные переменные, которые как ожидается примут *ненулевые значения* в допустимом целочисленном решении – аномалиями. Такие «аномальные» экземпляры остаются без рекомендуемого значения для фиксации, а оставшиеся нулевые «штатные» бинарные и целочисленные переменные фиксируются в ноль и на этом процедура построения частично-заданного решения считается завершённой.

Для повышения надежности прогноза предлагается использовать ансамбль детекторов аномалий. Решение о фиксации бинарной или целочисленной переменной в ноль принимается на основании большинства голосов ансамбля детекторов.

Набор данных представляет собой неупорядоченную коллекцию матриц признакового описания, ассоциированных с соответствующими lp/mps-файлами математической постановки задачи (условимся называть их *сценариями*).

Ансамбль детекторов аномалий обучается по роторной схеме:

- На i -ой итерации все *матрицы признакового описания* (всего в наборе S матриц/сценариев) кроме i -ой матрицы используются для обучения детекторов, а на i -ой матрице признакового описания строится прогноз аномальных экземпляров, которые помечаются как «-1». В результате получается коллекция бинарных и целочисленных переменных, помеченных либо как «0», либо как «-1». Построенное решение сравнивается с допустимым целочисленным решением с помощью различных метрик качества (параметрическое гармоническое среднее, кашпа Коэна, коэффициент корреляции Метьюса и т.д.). Вычисленные для i -ой матрицы метрики качества и построенное частично-заданное решение на фиксациях сохраняются в директории результатов,
 - Затем описанный шаг повторяется для оставшихся матриц признакового описания объекта.
- По окончании процедуры для каждого сценария:
- будут вычислены метрики качества,
 - будет построено частично-заданное решение на фиксациях,

⁷Идея построения признака основана на способе вычисления вероятности единичного выхода нейрона в машинах Больцмана [2, стр. 653]

Полученные частично-заданные решения на фиксациях подаются на вход решателю SCIP. Если SCIP удалось найти решение, обозначаемое как s_{ML} , то оно сравнивается с решением s_{FZB} , полученным с помощью метаконфигурации FZBIVSUNPB (см. подраздел 6.2), по времени работы и по значению верхней границы решения.

Замечание

Как правило, в задачах обнаружения аномалий не выполняют подбор гиперпараметров детектора, но в данном случае кажется полезным изучить поведение детектора хотя бы в зависимости от параметра контаминации. Дело в том, что на практике эффективность детектора может существенно изменяться в зависимости от значений управляющих параметров

На всех сценариях группы ИКП (см. раздел 6) обнаруживается серьезный дисбаланс экземпляров положительного («аномалии», ненулевые значения переменных) и отрицательного («штатные» экземпляры, нулевые значения переменных) классов. Ожидается, что эффективность модели машинного обучения главным образом будет зависеть от способности модели выявлять аномальные экземпляры.

Действительно, *ошибка первого рода* (ложное срабатывание, т.е. когда отрицательный «штатный» экземпляр принимается за «аномальный» положительный) приводит к тому, что нулевая переменная *не будет* зафиксирована в ноль в частично-заданном решении, что с высокой вероятностью снизит производительность решателя SCIP.

Тогда как *ошибка второго рода* (пропуск объекта, т.е. когда «аномальный» положительный экземпляр принимается за «штатный» отрицательный) приводит к тому, что ненулевая переменная в частично-заданном решении будет зафиксирована в ноль. Это сделает частично-заданное решение не способным развиваться в допустимое целочисленное, что значительно хуже.

Таким образом, кажется разумным сосредоточить усилия на том, чтобы минимизировать ошибку второго рода, и в результате свести к минимуму число пропусков аномалий.

Проще всего оценить качество модели с учетом большего влияния ошибок второго рода с помощью F_β -меры при значениях параметра $\beta > 1$

$$F_\beta = (1 + \beta^2) \frac{\text{precision} \cdot \text{recall}}{\beta^2 \text{precision} + \text{recall}},$$

где precision – точность, recall – полнота.

Замечание

Провести анализ приема подбора порога бинаризации. И проработать схему подбора гиперпараметров детекторов

Анализ производительности методов обнаружения аномалий Рекомендуемые значения некоторых гиперпараметров для детекторов некоторых семейств звучат следующим образом [3]:

- для KNN (k Nearest Neighbors⁸) и LOF (Local Outlier Factor): $k = \max(10; 0.03 |D|)$, где $|D|$ – число экземпляров в наборе данных,
- для HBOS (Histogram-based Outlier Score): $n_bins = \sqrt{|D|}$,
- для IForest (Isolation Forest): число деревьев $n_estimators=100$ и число экземпляров на дерево $max_samples=256$,

⁸Расстояние от k -ого ближайшего соседа рассматривается как мера аномальности экземпляра

- для CBLOF (Clustering-Based Local Outlier Factor): $\alpha = 0.90$, $\beta = 5$ и $k = 10$,
- для OCSVM (One-Class Support Vector Machines): ядро RFB($\nu = 0.5$, $\gamma = 1/m$), где m - число признаков в наборе данных D .

Перечисленные ниже детекторы показали крайне низкую производительность на сценариях группы ИКП:

- KNN,
- Feature Bagging,
- ABOD (Angle-Based Outlier Detection using approximation)/FastABOD,
- LOCI (Fast outlier detection using the local correlation integral),
- CBLOF (Clustering-Based Local Outlier Factor): достаточно быстрый, но результаты отвратительные (очень низкие значения ключевых метрик качества),
- XGBOOST⁹ (Extreme Boosting Based Outlier Detection): безумно медленный¹⁰,
- R-Graph (Outlier detection by R-graph).

Главный детектор аномалий предлагается строить с помощью агрегатора SUOD¹¹ (Accelerating Large-scale Unsupervised Heterogeneous Outlier Detection) на следующих базовых детекторах:

- ECOD (Unsupervised Outlier Detection Using Empirical Cumulative Distribution Functions),
- COPOD (Copula-Based Outlier Detection),
- IForest (Isolation Forest),
- HBOS (Histogram-based Outlier Score).

5.3.2. Стратегия №2. Бинарная классификация со слабо выраженным миноритарным классом

Задачу построения частично-заданного решения на фиксациях предлагается свести к задаче бинарной классификации со слабо выраженным миноритарным классом (данные с сильным дисбалансом).

6. Описание вычислительных экспериментов на сценариях группы ИКП

На всех сценариях группы ИКП (как с бинарными переменными, так и без них) решения удавалось найти с помощью *метаконфигурации* (см. раздел 6.2), включающей прием подавления подгруппы первичных эвристик низкой эффективности и процедуру построения частично-заданного решения на фиксациях (для нулевых бинарных и целочисленных переменных).

6.1. Поиск решения на сценариях без бинарных переменных.

Метаконфигурация SUN

Метаконфигурация¹² SUN (Suppress Useless Heuristics) процедуры поиска решения сводится к приему подавления подгруппы первичных эвристик низкой эффективности.

⁹Требуется разметка

¹⁰В <https://github.com/yzhao062/pyod/issues/152> рекомендуется использовать SUOD

¹¹<https://www.andrew.cmu.edu/user/yuezhao2/papers/21-mlsys-suod.pdf>

¹²Под метаконфигурацией понимается совокупность конфигурации решателя и набора эвристических приемов

Замечание

Решение получено без доменно-ориентированных эвристик, «теплого» старта и подбора параметров решателя

Конфигурация решателя SCIP для всех сценариев группы ИКП (без бинарных переменных) имеет вид

scip.set. Сценарии группы ИКП без бинарных переменных

```
# критерии останова и перезапуска
limits/time = 7200
limits/gap = 0.02 # решение останавливается при зазоре <= 2%

# подавление подгруппы первичных эвристик низкой эффективности
heuristics/farkasdiving/freq = -1
heuristics/feaspump/freq = -1
heuristics/randrounding/freq = -1
heuristics/shiftandpropagate/freq = -1
heuristics/shifting/freq = -1
```

Сводка результатов вычислительных экспериментов доступна по ссылке <https://docs.google.com/document/d/1V9fZLT9cXkbVQ5BvMCwzKrAiASZ2v4-01Z68jVBZUBU/edit?usp=sharing>.

6.1.1. Сценарий F398266B без бинарных переменных

Статистика

Общее количество переменных: 774901

Количество целочисленных переменных: 172449

Количество бинарных переменных: 0

Количество ограничений: 650263

lp-файл: https://disk.yandex.ru/d/o_eAb9475u5ueg

Анализ решения

Пул решений задачи был найден с помощью следующих первичных эвристик:

- o INTSHIFING,
- o RENS.

Файл решения задачи (метаконфигурация SUH) доступен по ссылке <https://disk.yandex.ru/d/URRnZ8soTaJEgQ>

Файл статистической сводки (метаконфигурация SUH) доступен по ссылке <https://disk.yandex.ru/d/N2tfhj1N6Rczza>

Файл решения задачи (метаконфигурация FZBIVSUHPB) доступен по ссылке <https://disk.yandex.ru/d/-y7p5FyJyYirkw>

Файл статистической сводки (метаконфигурация FZBIVSUHPB) доступен по ссылке <https://disk.yandex.ru/d/1JaMC9aFjubDbA>

Вывод по сценарию: описанная выше метаконфигурация SUH приводит к решению задачи, которое оказывается по отношению к результату на доменно-ориентированных эвристиках (USE_RECALCULATION_ON_FLOW=true) для последнего решения из пула допустимых целочисленных решений (ОС Linux Centos 7) на 1.063% лучше в смысле целевой функции и на 10.20% – в смысле временных издержек (рис. 3).

Метаконфигурация FZBIVSUHPB (подробнее в разделе 6.2) по отношению к тому же результату на доменно-ориентированных эвристиках дает решение задачи, которое на 1.155% лучше в смысле целевой функции и на 65.27% – в смысле временных издержек (табл. 1).

Синим цветом обозначен выигрыш в процентах.

Таблица 1. Сводка результатов анализа эффективности метаконфигураций SUH и FZBIVSUHPB. Сценарий f398266b без бинарных переменных

Способ	Полное время рас- чета, мин	Верхняя граница решения, $\times 10^{10}$
CBC+DOH	21.38	5.905048
SCIP+SUH	19.27 +9.87%	5.842154 +1.065%
SCIP+FZB...	9.43 +55.89%	5.836815 +1.155%

Сценарий input_f398266b-093b-ec11-a2d4-005056a5ee74.json

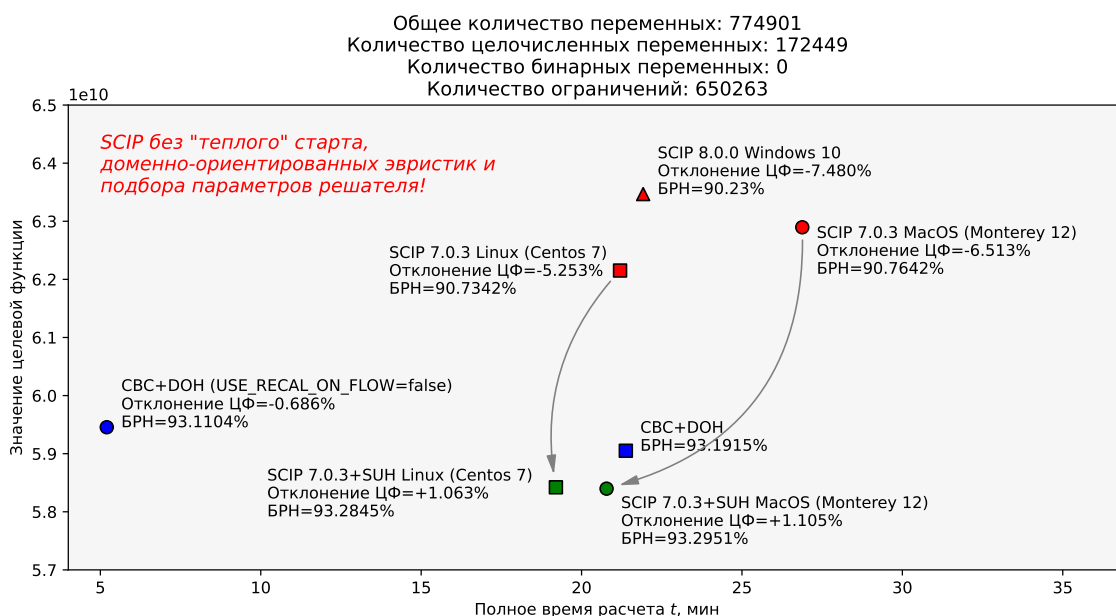


Рис. 3. Сводка результатов анализа эффективности метаконфигурации SUH. Сценарий f398266b без бинарных переменных

6.1.2. Сценарий 50197DF7 без бинарных переменных

Статистика

Общее количество переменных: 718464

Количество целочисленных переменных: 159332

Количество бинарных переменных: 0

Количество ограничений: 595797

lp-файл: https://disk.yandex.ru/d/K0_xj9dkgUdcog

Анализ решения

Пул решений задачи был найден с помощью следующих первичных эвристик:

- o INTSHIFING,

- RENS.

Файл решения задачи (метаконфигурация SUH) доступен по ссылке <https://disk.yandex.ru/d/R4B1fkTx-nE3tg>

Файл статистической сводки (метаконфигурация SUH) доступен по ссылке <https://disk.yandex.ru/d/BLvUmZ43vtMFKg>

Файл решения задачи (метаконфигурация FZBIVSUHPB) доступен по ссылке <https://disk.yandex.ru/d/yMFLr-6mLfdPAw>

Файл статистической сводки (метаконфигурация FZBIVSUHPB) доступен по ссылке <https://disk.yandex.ru/d/XiRSvteL9xC4pg>

Вывод по сценарию: описанная выше метаконфигурация SUH приводит к решению задачи, которое оказывается по отношению к результату на доменно-ориентированных эвристиках (USE_RECALCULATION_ON_FLOW=true) для последнего решения из пула допустимых целочисленных решений (ОС Linux Centos 7) на 1.25% лучше в смысле целевой функции и на 46.43% – в смысле временных издержек (рис. 4).

Метаконфигурация FZBIVSUHPB (подробнее в разделе 6.2) по отношению к тому же результату на доменно-ориентированных эвристиках дает решение задачи, которое на 1.191% лучше в смысле целевой функции и на 82.13% – в смысле временных издержек (табл. 2).

Синим цветом обозначен выигрыш в процентах.

Таблица 2. Сводка результатов анализа эффективности метаконфигураций SUH и FZBIVSUHPB. Сценарий 50197df7 без бинарных переменных

Способ	Полное время расчета, мин	Верхняя граница решения, $\times 10^{10}$
CBC+DOH	18.35	3.585532
SCIP+SUH	9.83 +46.43%	3.540567 +1.252%
SCIP+FZB...	3.28 +82.13%	3.542843 +1.191%

6.1.3. Сценарий 7FAC4231 без бинарных переменных

Статистика

Общее количество переменных: 737585

Количество целочисленных переменных: 147789

Количество бинарных переменных: 0

Количество ограничений: 540018

lp-файл: <https://disk.yandex.ru/d/qiZAmraUNK1Peg>

Анализ решения

Пул решений задачи был найден с помощью следующих первичных эвристик:

- INTSHIFING,
- RENS.

Файл решения задачи (метаконфигурация SUH) доступен по ссылке https://disk.yandex.ru/d/20NeMuQ7NF_ccA

Файл статистической сводки (метаконфигурация SUH) доступен по ссылке <https://disk.yandex.ru/d/QxE0HoREHzgHQQ>

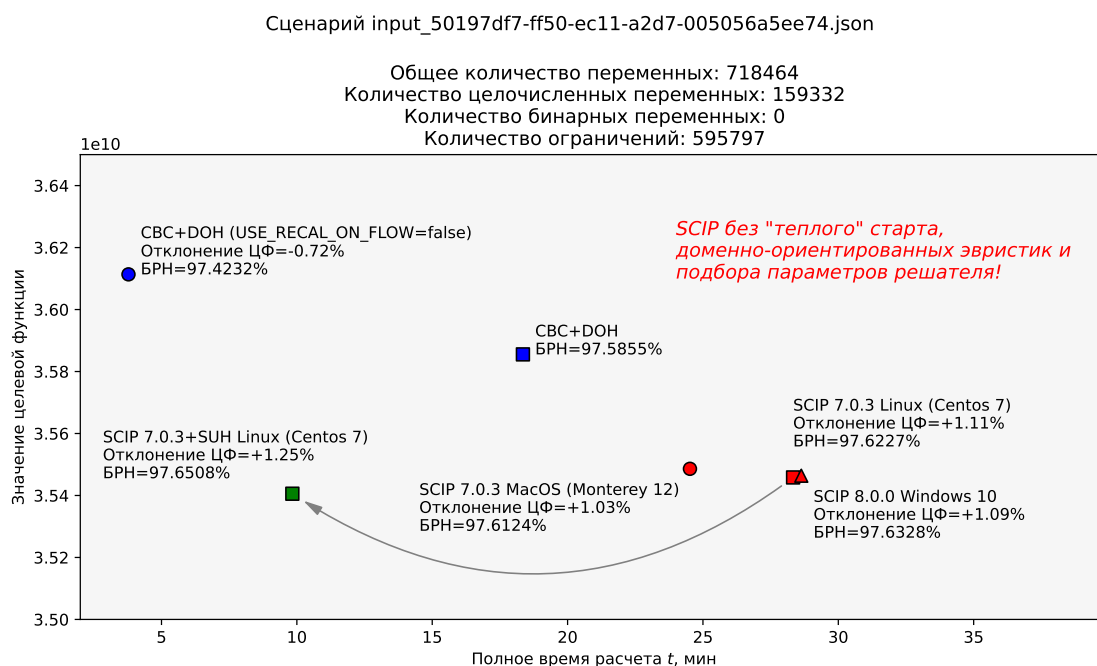


Рис. 4. Сводка результатов анализа эффективности метаконфигурации SUH.
Сценарий 50197df7 без бинарных переменных

Файл решения задачи (метаконфигурация FZBIVSUHPB) доступен по ссылке https://disk.yandex.ru/d/FHZGj_Kyg8dDiw

Файл статистической сводки (метаконфигурация FZBIVSUHPB) доступен по ссылке <https://disk.yandex.ru/d/8H1vw6zkQS7DAg>

Вывод по сценарию: описанная выше метаконфигурация SUH приводит к решению задачи, которое оказывается по отношению к результату на доменно-ориентированных эвристиках (`USE_RECALCULATION_ON_FLOW=true`) для последнего решения из пула допустимых целочисленных решений (ОС Linux Centos 7) на 5.22% лучше в смысле целевой функции и на 27.10% – в смысле временных издержек (рис. 5).

Метаконфигурация FZBIVSUHPB (подробнее в разделе 6.2) по отношению к тому же результату на доменно-ориентированных эвристиках дает решение задачи, которое на 5.452% лучше в смысле целевой функции и на 90.16% – в смысле временных издержек (табл. 3).

Синим цветом обозначен выигрыш в процентах.

Таблица 3. Сводка результатов анализа эффективности метаконфигураций SUH и FZBIVSUHPB. Сценарий 7fac4231 без бинарных переменных

Способ	Полное время расчета, мин	Верхняя граница решения, $\times 10^{10}$
CBC+DOH	16.05	1.087609
SCIP+SUH	11.67 +27.29%	1.030866 +5.222%
SCIP+FZB...	3.58 +77.69%	1.028349 +5.452%

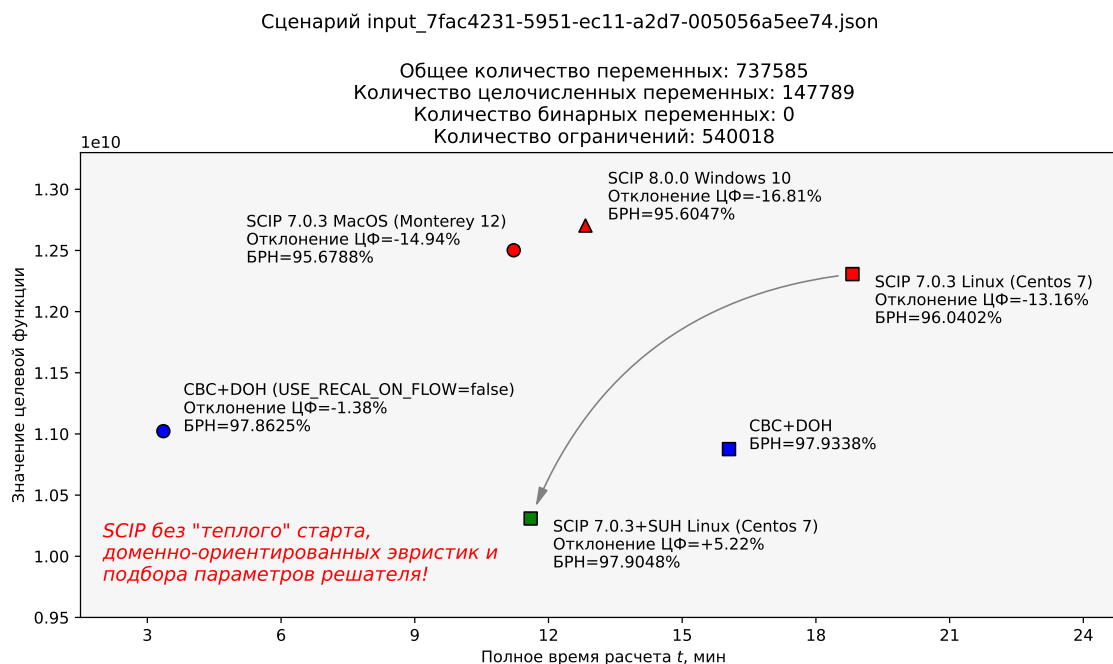


Рис. 5. Сводка результатов анализа эффективности метаконфигурации SUH.
Сценарий 7fac4231 без бинарных переменных

6.1.4. Сценарий CA485A55 без бинарных переменных

Статистика

Общее количество переменных: 718601

Количество целочисленных переменных: 140858

Количество бинарных переменных: 0

Количество ограничений: 514229

lp-файл: https://disk.yandex.ru/d/iSP6xrh4K_wHEQ

Анализ решения

Пул решений задачи был найден с помощью следующих первичных эвристик:

- INTSHIFING,
- RENS.

Файл решения задачи (метаконфигурация SUH) доступен по ссылке https://disk.yandex.ru/d/_WzkmgoueNb2Bg

Файл решения задачи (метаконфигурация FZBIVSUHPB) доступен по ссылке <https://disk.yandex.ru/d/sLUW5IxmPMBpcw>

Файл статистической сводки (метаконфигурация FZBIVSUHPB) доступен по ссылке <https://disk.yandex.ru/d/3Ls6QrAWVUMdZw>

Вывод по сценарию: описанная выше метаконфигурация SUH приводит к решению задачи, которое оказывается по отношению к результату на доменно-ориентированных эвристиках (USE_RECALCULATION_ON_FLOW=true) для последнего решения из пула допустимых целочисленных решений (ОС Linux Centos 7) на 0.683% лучше в смысле целевой функции и на 46.48% – в смысле временных издержек (рис. 6).

Метаконфигурация FZBIVSUHPB (подробнее в разделе 6.2) по отношению к тому же результату на доменно-ориентированных эвристиках дает решение задачи, которое на 1.244% лучше в смысле целевой функции и на 88.53% – в смысле временных издержек (табл. 4).

Синим цветом обозначен выигрыш в процентах.

Таблица 4. Сводка результатов анализа эффективности метаконфигураций SUH и FZBIVSUHPB. Сценарий ca485a55 без бинарных переменных

Способ	Полное время расчета, мин	Верхняя граница решения, $\times 10^{10}$
CBC+DOH	20.05	4.597048
SCIP+SUH	10.73 +46.48%	4.565579 +0.683%
SCIP+FZB...	4.34 +78.35%	4.539819 +1.244%

Сценарий input_ca485a55-0485-ec11-a2db-005056a5ee74.json

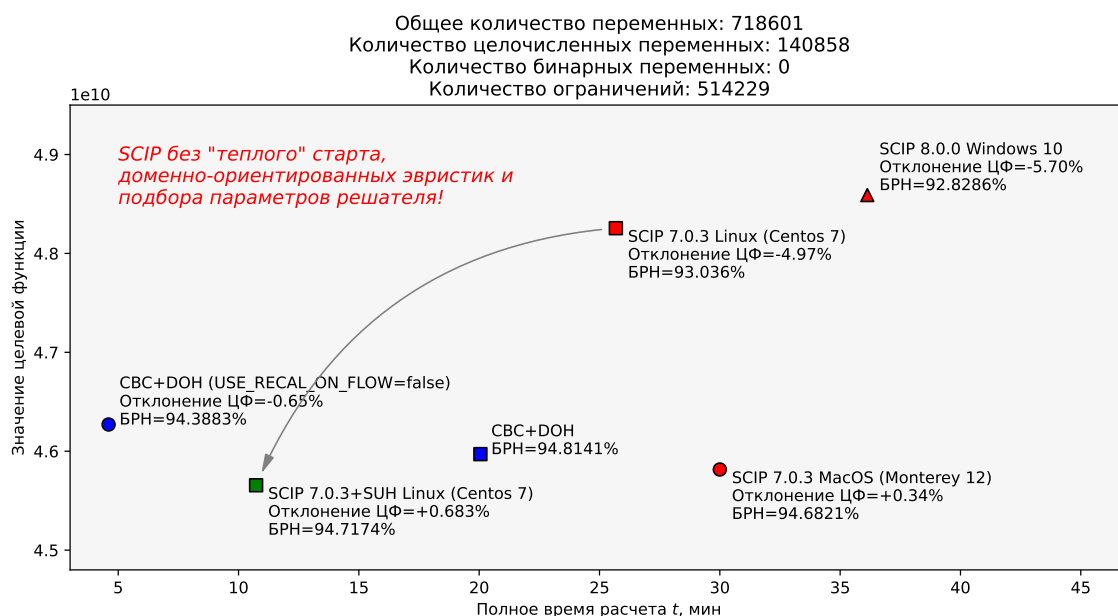


Рис. 6. Сводка результатов анализа эффективности метаконфигурации SUH. Сценарий ca485a55 без бинарных переменных

6.1.5. Сценарий 276 без бинарных переменных

Статистика

Общее количество переменных: 809224

Количество целочисленных переменных: 162562

Количество бинарных переменных: 0

Количество ограничений: 602190

lp-файл: <https://disk.yandex.ru/d/QaS5kd7VRZQ66A>

Анализ решения

Пул решений задачи был найден с помощью следующих первичных эвристик:

- о INTSHIFING,

- RENS.

Файл решения задачи (метаконфигурация SUH) доступен по ссылке <https://disk.yandex.ru/d/M2V88djiiGM5PA>

Файл решения задачи (метаконфигурация FZBIVSUHPB) доступен по ссылке <https://disk.yandex.ru/d/G0ustAVT6I9CeA>

Файл статистической сводки (метаконфигурация FZBIVSUHPB) доступен по ссылке <https://disk.yandex.ru/d/YBXB5GCECJiBIA>

Вывод по сценарию: описанная выше метаконфигурация SUH приводит к решению задачи, которое оказывается по отношению к результату на доменно-ориентированных эвристиках (USE_RECALCULATION_ON_FLOW=true) для последнего решения из пула допустимых целочисленных решений (ОС Linux Centos 7) на 3.67% лучше в смысле целевой функции и на 51.56% – в смысле временных издержек (рис. 7).

Метаконфигурация FZBIVSUHPB (подробнее в разделе 6.2) по отношению к тому же результату на доменно-ориентированных эвристиках дает решение задачи, которое на 4.86% лучше в смысле целевой функции и на 78.35% – в смысле временных издержек (табл. 5).

Синим цветом обозначен выигрыш в процентах.

Таблица 5. Сводка результатов анализа эффективности метаконфигураций SUH и FZBIVSUHPB. Сценарий 276 без бинарных переменных

Способ	Полное время рас- чета, мин	Верхняя граница решения, $\times 10^{10}$
CBC+DOH	29.87	1.430789
SCIP+SUH	14.47 +51.56%	1.378299 +3.669%
SCIP+FZB...	3.95 +78.35%	1.361368 +4.857%

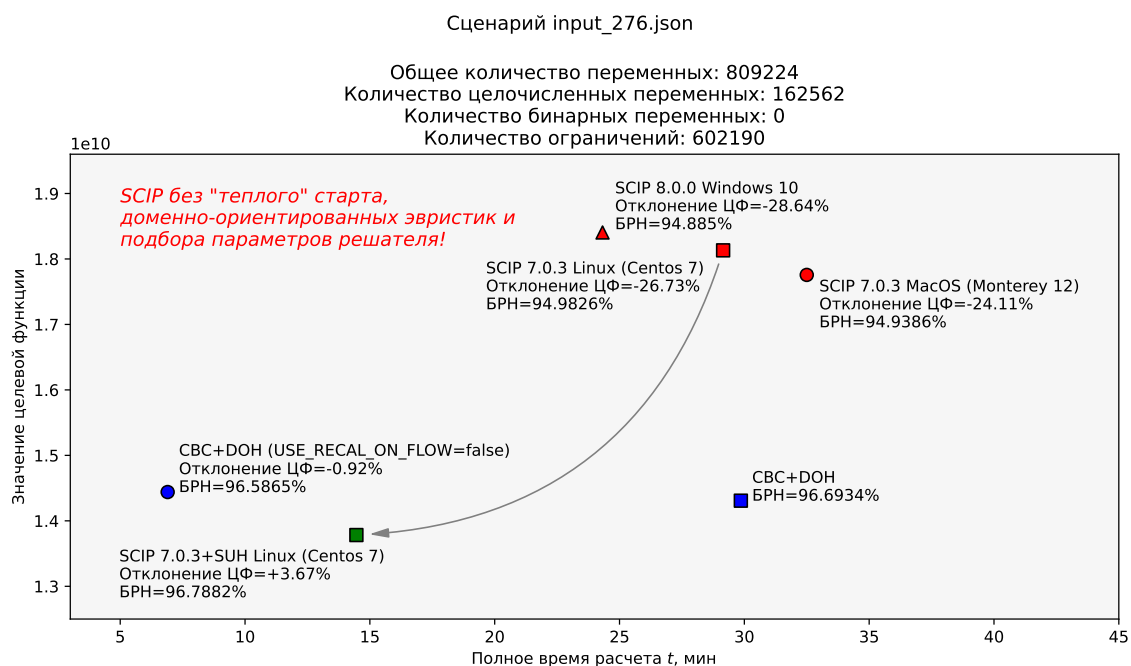


Рис. 7. Сводка результатов анализа эффективности метаконфигурации SUH. Сценарий 276 без бинарных переменных

6.1.6. Сценарий 337 без бинарных переменных

Статистика

Общее количество переменных: 859075

Количество целочисленных переменных: 173622

Количество бинарных переменных: 0

Количество ограничений: 624327

lp-файл: <https://disk.yandex.ru/d/keyQLAagsD7Sbw>

Анализ решения

Пул решений задачи был найден с помощью следующих первичных эвристик:

- о INTSHIFING,
- о RENS.

Файл решения задачи (метаконфигурация SUH) доступен по ссылке <https://disk.yandex.ru/d/ZUIEo3dDq77FjA>

Файл решения задачи (метаконфигурация FZBIVSUHPB) доступен по ссылке <https://disk.yandex.ru/d/OnUXIrIKuzqZlw>

Файл статистической сводки (метаконфигурация FZBIVSUHPB) доступен по ссылке <https://disk.yandex.ru/d/UONCnMQN1akHUA>

Вывод по сценарию: описанная выше метаконфигурация SUH приводит к решению задачи, которое оказывается по отношению к результату на доменно-ориентированных эвристиках (USE_RECALCULATION_ON_FLOW=true) для последнего решения из пула допустимых целочисленных решений (ОС Linux Centos 7) на 22.12% лучше в смысле целевой функции и на 18.32% – в смысле временных издержек (рис. 8).

Метаконфигурация FZBIVSUHPB (подробнее в разделе 6.2) по отношению к тому же результату на доменно-ориентированных эвристиках дает решение задачи, которое на 22.59% лучше в смысле целевой функции и на 70.84% – в смысле временных издержек (табл. 6).

Синим цветом обозначен выигрыш в процентах.

Таблица 6. Сводка результатов анализа эффективности метаконфигураций SUH и FZBIVSUHPB. Сценарий 337 без бинарных переменных

Способ	Полное время расчета, мин	Верхняя граница решения, $\times 10^{10}$
CBC+DOH	20.85	3.825042
SCIP+SUH	17.03 +18.32%	2.978782 +22.123%
SCIP+FZB...	6.08 +70.84%	2.961019 +22.588%

6.1.7. Сценарий 13D686AB без бинарных переменных

Статистика

Общее количество переменных: 786020

Количество целочисленных переменных: 168857

Количество бинарных переменных: 0

Количество ограничений: 598414

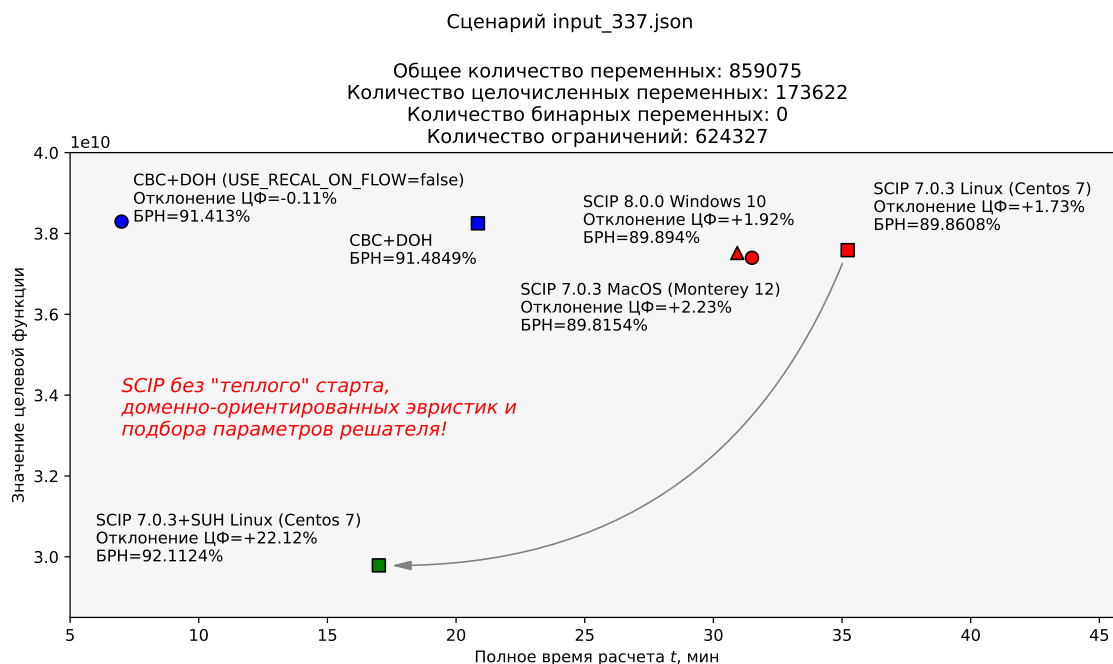


Рис. 8. Сводка результатов анализа эффективности метаконфигурации SUH.
Сценарий 337 без бинарных переменных

lp-файл: <https://disk.yandex.ru/d/3KkYKzNl3PjGdg>

Пул решений задачи был найден с помощью следующих первичных эвристик:

- INTSHIFING,
- RENS.

Файл решения задачи (метаконфигурация SUH) доступен по ссылке <https://disk.yandex.ru/d/EXylMeX6Ytz4tg>

Файл решения задачи (метаконфигурация FZBIVSUHPB) доступен по ссылке <https://disk.yandex.ru/d/dXUMVbSWRbqeDQ>

Файл статистической сводки (метаконфигурация FZBIVSUHPB) доступен по ссылке <https://disk.yandex.ru/d/Knavj89muxGw-w>

Вывод по сценарию: описанная выше метаконфигурация SUH приводит к решению задачи, которое оказывается по отношению к результату на доменно-ориентированных эвристиках (USE_RECALCULATION_ON_FLOW=true) для последнего решения из пула допустимых целочисленных решений (OC Linux Centos 7) на 9.40% лучше в смысле целевой функции и на 33.03% – в смысле временных издержек (рис. 9).

Метаконфигурация FZBIVSUHPB (подробнее в разделе 6.2) по отношению к тому же результату на доменно-ориентированных эвристиках дает решение задачи, которое на 10.44% лучше в смысле целевой функции и на 75.82% – в смысле временных издержек (табл. 7).

Синим цветом обозначен выигрыш в процентах.

6.1.8. Сценарий A78CBEAD без бинарных переменных

Статистика

Общее количество переменных: 795400

Количество целочисленных переменных: 180160

Таблица 7. Сводка результатов анализа эффективности метаконфигураций SUN и FZBIVSUHPB. Сценарий 13d686ab без бинарных переменных

Способ	Полное время рас- чета, мин	Верхняя граница решения, $\times 10^9$
CBC+DOH	28.82	8.774743
SCIP+SUN	19.30 +33.03%	7.949568 +9.403%
SCIP+FZB...	6.97 +75.82%	7.858548 +10.441%

Сценарий input_13d686ab-9e77-ec11-a2da-005056a5ee74.json

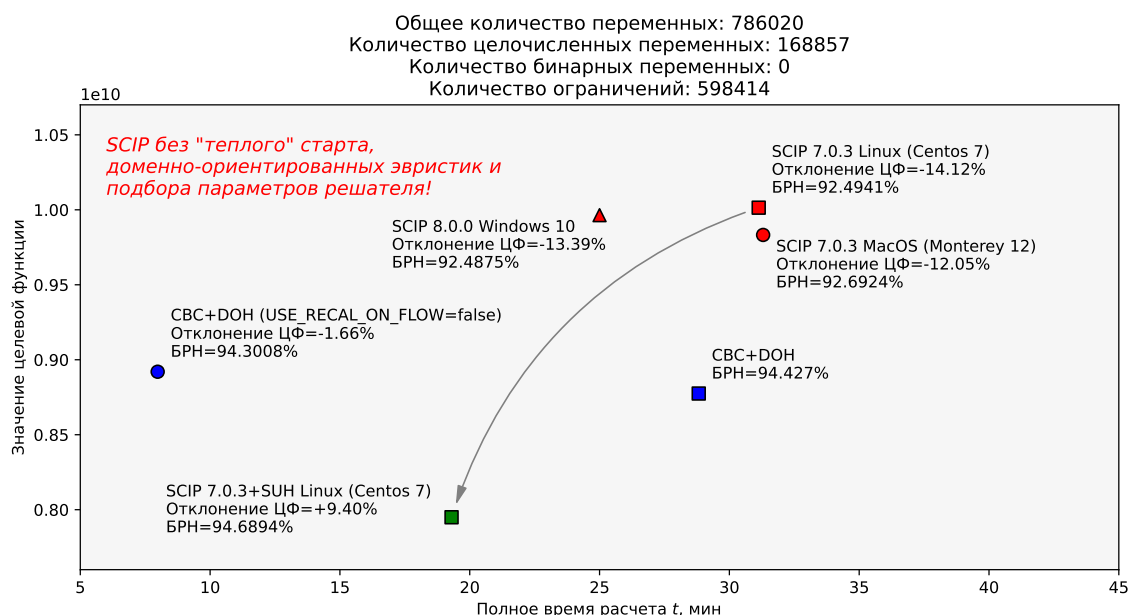


Рис. 9. Сводка результатов анализа эффективности метаконфигурации SUN. Сценарий 13d686ab без бинарных переменных

Количество бинарных переменных: 0

Количество ограничений: 658339

lp-файл: <https://disk.yandex.ru/d/vTPPa1H3VFD7tA>

Пул решений задачи был найден с помощью следующих первичных эвристик:

- INTSHIFING,
- RENS.

Файл решения задачи (метаконфигурация SUN) доступен по ссылке <https://disk.yandex.ru/d/fARVcHb66ToHxQ>

Файл решения задачи (метаконфигурация FZBIVSUHPB) доступен по ссылке <https://disk.yandex.ru/d/OXC17sTce8feHq>

Файл статистической сводки (метаконфигурация FZBIVSUHPB) доступен по ссылке <https://disk.yandex.ru/d/vn1K834mY5MEng>

Вывод по сценарию: описанная выше метаконфигурация SUN приводит к решению задачи, которое оказывается по отношению к результату на доменно-ориентированных эвристиках (USE_RECALCULATION_ON_FLOW=true) для последнего решения из пула допустимых целочисленных решений (ОС Linux Centos 7) на 1.57% лучше в смысле целевой функции и на 23.30% – в смысле временных издержек (рис. 10).

Метаконфигурация FZBIVSUHPB (подробнее в разделе 6.2) по отношению к тому же результату на доменно-ориентированных эвристиках дает решение задачи, которое на 1.39% лучше в смысле целевой функции и на 81.04% – в смысле временных издержек (табл. 8).

Синим цветом обозначен выигрыш в процентах.

Таблица 8. Сводка результатов анализа эффективности метаконфигураций SUN и FZBIVSUHPB. Сценарий a78cbead без бинарных переменных

Способ	Полное время рас- чета, мин	Верхняя граница решения, $\times 10^{10}$
CBC+DOH	26.05	3.801546
SCIP+SUN	19.98 +23.30%	3.741685 +1.576%
SCIP+FZB...	4.94 +81.04%	3.748890 +1.386%

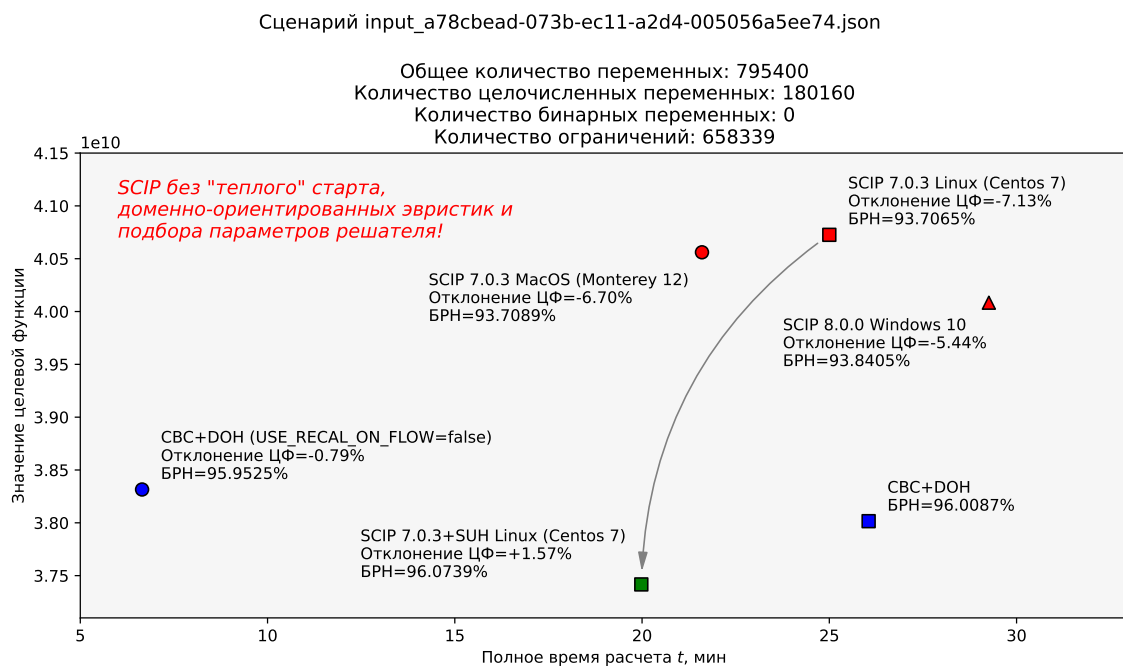


Рис. 10. Сводка результатов анализа эффективности метаконфигурации SUN. Сценарий a78cbead без бинарных переменных

6.2. Поиск решения на сценариях с бинарными переменными. Метаконфигурация FZBIVSUHPB

На ранних стадиях изучения проблемы высокоразмерных сценариев с бинарными переменными, поиск решения осуществлялся в семь шагов:

1. Подавить подгруппу первичных эвристик низкой эффективности (см. раздел 4.2),
2. При разрешении конфликтов и ветвлении¹³ отдавать предпочтение бинарным переменным,
3. Найти релаксированное решение задачи,
4. Подобрать порог бинаризации на релаксированном решении для бинарных переменных (см. раздел 4.3),

¹³К сожалению, на сценариях группы ИКП с бинарными переменными решателю SCIP не удастся найти решение в корне дерева

5. Зафиксировать *нулевые 0-bin и единичные 1-bin бинарные переменные*; подать фиксацию решателю,
6. В решении, найденном на предыдущей итерации, зафиксировать *нулевые целочисленные 0-int и единичные бинарные 1-bin переменные*; полученную фиксацию подать на вход решателю,
7. В решении, полученном на предыдущей итерации, зафиксировать *нулевые бинарные 0-bin и целочисленные 0-int переменные*; фиксацию подать на вход решателю.

Процедура поиска оказалась чувствительной к параметру `autorestartnodes`. Графическая интерпретация результатов вычислительных экспериментов с разверткой процедуры поиска верхней границы решения во времени приведена на рис. 11, 12, 13 и 14.

Позже описанную процедуру удалось упростить и свести к следующей *метаконфигурации* FZBIVSUNPB (Fixed Zero Binary and Integer Variables, Suppress Useless Heuristics, Prefer Binary):

1. Подавить подгруппу первичных эвристик низкой эффективности,
2. При разрешении конфликтов и ветвлении отдавать предпочтение *бинарным* переменным,
3. Зафиксировать *нулевые бинарные 0-bin и нулевые целочисленные 0-int переменные* в релаксированном решении (см. раздел 4.1).

Конфигурация решателя SCIP для всех сценариев группы ИКП (с бинарными переменными) имеет вид

scip.set. Сценарии группы ИКП с бинарными переменными

```
# критерии останова и перезапуска
limits/time = 7200
limits/autorestartnodes = -1
limits/gap = 0.02 # решение останавливается при зазоре <= 2%

# управление стратегиями анализа конфликтов и ветвления
conflict/preferbinary = True
branching/preferbinary = True

# подавление подгруппы первичных эвристик низкой эффективности
heuristics/farkasdiving/freq = -1
heuristics/feaspump/freq = -1
heuristics/randrounding/freq = -1
heuristics/shiftandpropagate/freq = -1
heuristics/shifting/freq = -1
```

Все эксперименты проводились на виртуальной машине Linux (Centos 7) Intel Core™ i7 (8 CPUs), 3.6GHz, RAM 16Gb.

Сводка результатов вычислительных экспериментов доступна по ссылке <https://docs.google.com/document/d/1V9fZLT9cXkbVQ5BvMCwzKrAiASZ2v4-01Z68jVBZUBU/edit?usp=sharing>.

Кодовая база решения доступна по ссылке https://gitdp.zyfra.com/ds_and_math_users/ml-dl-in-operations-reaseearches.git

6.2.1. Сценарий A78CBEAD с бинарными переменными

Статистика

Общее количество переменных: 797818

Количество целочисленных переменных: 180160

Количество бинарных переменных: 2418

Количество ограничений: 663175

lp-файл: <https://disk.yandex.ru/d/JbT3KR5Yi1ZomQ>

Анализ решения

Пул решений задачи был найден с помощью следующих первичных эвристик:

- DISTRIBUTIOINDIVING,
- ONEOPT,
- GINS.

Фрагмент лога сессии SCIP

```
...
time | node | left | LP iter|LP it/n|mem/heur|mdpt |vars |cons |rows |cuts |sepa|confs|strbr|
      dualbound | primalbound | gap | compl.
d1790s| 1881 | 1668 | 1010k| 296.9 |distribul| 93 | 50k| 43k| 43k| 0 | 1 | 385 |3585 |
      3.757279e+10 | 3.894342e+10 | 3.65%| 7.70%
d1790s| 1881 | 1668 | 1010k| 296.9 |distribul| 93 | 50k| 43k| 43k| 0 | 1 | 385 |3585 |
      3.757279e+10 | 3.894341e+10 | 3.65%| 7.70%
i1792s| 1882 | 1667 | 1011k| 297.0 | oneopt| 93 | 50k| 43k| 43k|8612 | 0 | 385 |3585 |
      3.757279e+10 | 3.893993e+10 | 3.64%| 7.70%
1796s| 1900 | 1687 | 1016k| 297.0 | 3669M | 93 | 50k| 43k| 43k|8644 | 1 | 387 |3585 |
      3.757279e+10 | 3.893993e+10 | 3.64%| 2.82%
L1902s| 1982 | 1769 | 1090k| 313.4 | gins| 93 | 50k| 43k| 43k|8935 | 1 | 398 |3590 |
      3.757279e+10 | 3.875897e+10 | 3.16%| 2.83%
L1912s| 1982 | 1769 | 1090k| 313.4 | gins| 93 | 50k| 43k| 43k|8935 | 1 | 398 |3590 |
      3.757279e+10 | 3.864257e+10 | 2.85%| 2.83%
i1920s| 1982 | 1769 | 1099k| 316.2 | oneopt| 93 | 50k| 43k| 43k|8935 | 1 | 398 |3590 |
      3.757279e+10 | 3.864241e+10 | 2.85%| 2.83%
1954s| 2000 | 1787 | 1133k| 325.5 | 3731M | 93 | 50k| 43k| 43k|9004 | 1 | 398 |3591 |
      3.757279e+10 | 3.864241e+10 | 2.85%| 2.83%
```

Файл решения задачи доступен по ссылке <https://disk.yandex.ru/d/6FPE-S5VupA6iw>

Файл статистической сводки доступен по ссылке <https://disk.yandex.ru/d/9G-v54ywEK1TJA>

Вывод по сценарию: описанная выше метаконфигурация приводит к решению задачи, которое оказывается по отношению к результату на доменно-ориентированных эвристиках для последнего решения из пула допустимых целочисленных решений на 2.46% лучше в смысле целевой функции и на 19.64% – в смысле временных издержек (табл. 9).

В табл. 9 через SCIP+MC (a) обозначается решение, построенное на метаконфигурации SCIP, отвечающее *первому* допустимому целочисленному решению, верхняя граница которого не превышает верхнюю границу решения на доменно-ориентированных эвристиках, а через SCIP+MC (b) – решение, отвечающее *последнему* допустимому целочисленному решению в наборе полученных.

Синим цветом обозначен выигрыш в процентах.

Таблица 9. Сводка результатов анализа эффективности метаконфигурации FZBIVSUHPB. Сценарий a78cbead с бинарными переменными

Способ	Полное время рас- чета, мин	Верхняя граница решения, $\times 10^{10}$
CBC+DOH	39.82	3.961502
SCIP+MC (a)	29.83 +25.09%	3.894342 +1.70%
SCIP+MC (b)	32.00 +19.64%	3.864241 +2.46%

6.2.2. Сценарий 7FAC4231 с бинарными переменными

Статистика

Общее количество переменных: 740251

Количество целочисленных переменных: 147789

Количество бинарных переменных: 2666

Количество ограничений: 545350

lp-файл: <https://disk.yandex.ru/d/3NbbjflW5zhejQ>

Анализ решения

Пул решений задачи был найден с помощью следующих первичных эвристик:

- INTSHIFTING,
- ONEOPT,
- GINS,
- Crossover,
- ALNS.

Фрагмент лога сессии SCIP

```
...
time | node | left | LP iter|LP it/n|mem/heur|mdpt |vars |cons |rows |cuts |sepa|confs|strbr|
dualbound | primalbound | gap | compl.
r 454s| 372 | 341 | 91171 | 102.3 |intshift| 309 | 41k| 33k| 34k|2788 | 5 | 57 |3711 |
1.053077e+10 | 1.309195e+10 | 24.32%| 0.78%
i 454s| 373 | 340 | 91171 | 102.0 | oneopt| 309 | 41k| 33k| 34k|2788 | 0 | 57 |3711 |
1.053077e+10 | 1.308634e+10 | 24.27%| 0.78%
463s| 400 | 369 | 93623 | 101.3 | 2493M | 309 | 41k| 33k| 34k|2950 | 1 | 57 |3761 |
1.053077e+10 | 1.308634e+10 | 24.27%| 0.29%
L 507s| 473 | 442 |106991 | 113.9 | gins| 309 | 41k| 33k| 34k|3084 | 1 | 57 |3813 |
1.053077e+10 | 1.297515e+10 | 23.21%| 0.29%
L 512s| 473 | 442 |106991 | 113.9 | gins| 309 | 41k| 33k| 34k|3084 | 1 | 57 |3813 |
1.053077e+10 | 1.292548e+10 | 22.74%| 0.29%
L 522s| 473 | 442 |106991 | 113.9 | gins| 309 | 41k| 33k| 34k|3084 | 1 | 57 |3813 |
1.053077e+10 | 1.289283e+10 | 22.43%| 0.29%
L 525s| 473 | 442 |106991 | 113.9 | gins| 309 | 41k| 33k| 34k|3084 | 1 | 57 |3813 |
1.053077e+10 | 1.286340e+10 | 22.15%| 0.29%
i 529s| 473 | 442 |112279 | 125.1 | oneopt| 309 | 41k| 33k| 34k|3084 | 1 | 57 |3813 |
1.053077e+10 | 1.285668e+10 | 22.09%| 0.29%
r 531s| 474 | 443 |120630 | 142.5 |intshift| 309 | 41k| 33k| 34k|3084 | 1 | 58 |3813 |
1.053077e+10 | 1.197786e+10 | 13.74%| 0.29%
i 532s| 474 | 373 |124926 | 151.6 | oneopt| 309 | 41k| 33k| 34k|3084 | 1 | 58 |3813 |
1.053077e+10 | 1.197230e+10 | 13.69%| 0.29%
536s| 500 | 399 |126496 | 146.9 | 2579M | 309 | 41k| 33k| 34k|3181 | 1 | 58 |3822 |
1.053077e+10 | 1.197230e+10 | 13.69%| 0.29%
567s| 600 | 499 |158520 | 175.8 | 2613M | 309 | 41k| 33k| 34k|3641 | 1 | 60 |3933 |
1.053095e+10 | 1.197230e+10 | 13.69%| 0.29%
L 739s| 659 | 554 |189783 | 207.6 | gins| 309 | 41k| 33k| 34k|4060 | 1 | 62 |3978 |
1.053095e+10 | 1.191898e+10 | 13.18%| 0.29%
i 741s| 660 | 555 |198453 | 220.4 | oneopt| 309 | 41k| 33k| 34k|4060 | 1 | 62 |3981 |
1.053095e+10 | 1.191889e+10 | 13.18%| 0.30%
794s| 700 | 595 |236166 | 261.7 | 2689M | 309 | 41k| 33k| 34k|4418 | 1 | 62 |4010 |
1.053095e+10 | 1.191889e+10 | 13.18%| 0.32%
836s| 800 | 695 |277232 | 280.4 | 2728M | 309 | 41k| 33k| 34k|4757 | 1 | 64 |4027 |
1.053219e+10 | 1.191889e+10 | 13.17%| 0.32%
L 967s| 860 | 693 |295017 | 281.5 |crossove| 309 | 41k| 33k| 34k|5000 | 1 | 64 |4059 |
1.053219e+10 | 1.154287e+10 | 9.60%| 0.32%
```

i 968s	860	693 300734	288.1	oneopt	309	41k	33k	34k 5000	1	64 4059
	1.053219e+10	1.154284e+10	9.60%	0.32%						
990s	900	733 312921	288.9	2793M	309	41k	33k	34k 5288	1	64 4139
	1.053219e+10	1.154284e+10	9.60%	0.33%						
1042s	1000	823 346085	293.2	2816M	309	41k	33k	34k 5725	1	65 4281
	1.053219e+10	1.154284e+10	9.60%	0.33%						
L1083s	1003	826 347173	293.4	alns	309	41k	33k	34k 5747	2	65 4284
	1.053219e+10	1.153273e+10	9.50%	0.33%						
i1084s	1004	827 352908	298.8	oneopt	309	41k	33k	34k 5747	1	65 4284
	1.053219e+10	1.118743e+10	6.22%	0.33%						
1113s	1100	699 373504	291.4	2860M	309	41k	33k	34k 6055	3	65 4323
	1.053219e+10	1.118743e+10	6.22%	0.44%						
1140s	1	0 419115	-	3039M	0	41k	34k	34k 0 0	65 4323	
	1.053219e+10	1.118743e+10	6.22%	unknown						

Файл решения задачи доступен по ссылке <https://disk.yandex.ru/d/TmA6hqFV87eGTg>

Файл статистической сводки доступен по ссылке https://disk.yandex.ru/d/CsGV_oal40Tx0Q

Вывод по сценарию: описанная выше метаконфигурация приводит к решению задачи, которое оказывается по отношению к результату на доменно-ориентированных эвристиках для последнего решения из пула допустимых целочисленных решений на 3.38% лучше в смысле целевой функции и на 33.07% – в смысле временных издержек (табл. 10).

В табл. 10 через SCIP+MC (a) обозначается решение, построенное на метаконфигурации SCIP, отвечающее *первому* допустимому целочисленному решению, верхняя граница которого не превышает верхнюю границу решения на доменно-ориентированных эвристиках, а через SCIP+MC (b) – решение, отвечающее *последнему* допустимому целочисленному решению в наборе полученных.

Синим цветом обозначен выигрыш в процентах.

Таблица 10. Сводка результатов анализа эффективности метаконфигурации FZBIVSUHPB. Сценарий 7fac4231 с бинарными переменными

Способ	Полное время рас- чета, мин	Верхняя граница решения, $\times 10^{10}$
CBC+DOH	27.00	1.157865
SCIP+MC (a)	18.05 +33.15%	1.153273 +0.40%
SCIP+MC (b)	18.07 +33.07%	1.118743 +3.38%

6.2.3. Сценарий 50197DF7 с бинарными переменными

Статистика

Общее количество переменных: 720954

Количество целочисленных переменных: 159332

Количество бинарных переменных: 2490

Количество ограничений: 600777

lp-файл: <https://disk.yandex.ru/d/qWeSKb2WEs6kQA>

Анализ решения

Пул решений задачи был найден с помощью следующих первичных эвристик:

- o INTSHIFTING,

- ONEOPT,
- GINS.

Фрагмент лога сессии SCIP

```

...
time | node | left | LP iter|LP it/n|mem/heur|mdpt |vars |cons |rows |cuts |sepa|confs|strbr|
dualbound | primalbound | gap | compl.
r 836s| 963 | 948 |155676 | 53.5 |intshift| 409 | 41k| 34k| 35k|4367 | 1 | 69 |7354 |
3.554610e+10 | 3.676991e+10 | 3.44%| unknown
i 836s| 964 | 947 |155676 | 53.5 | oneopt| 409 | 41k| 34k| 35k|4367 | 0 | 69 |7354 |
3.554610e+10 | 3.676497e+10 | 3.43%| unknown
846s| 1000 | 985 |157559 | 53.4 | 2577M | 409 | 41k| 34k| 35k|4396 | 1 | 69 |7444 |
3.554610e+10 | 3.676497e+10 | 3.43%| unknown
L 885s| 1064 | 1049 |157869 | 50.5 | gins| 409 | 41k| 34k| 35k|4397 | 1 | 69 |7484 |
3.554610e+10 | 3.659894e+10 | 2.96%| unknown
L 931s| 1064 | 1049 |157869 | 50.5 | gins| 409 | 41k| 34k| 35k|4397 | 1 | 69 |7484 |
3.554610e+10 | 3.656967e+10 | 2.88%| unknown
i 962s| 1064 | 1049 |161589 | 54.0 | oneopt| 409 | 41k| 34k| 35k|4397 | 1 | 69 |7484 |
3.554610e+10 | 3.656967e+10 | 2.88%| unknown
969s| 1100 | 1085 |161769 | 52.4 | 2620M | 409 | 41k| 34k| 35k|4397 | 1 | 69 |7532 |
3.554610e+10 | 3.656967e+10 | 2.88%| unknown
L 988s| 1164 | 1149 |161992 | 49.7 | gins| 409 | 41k| 34k| 35k|4397 | 1 | 69 |7557 |
3.554610e+10 | 3.630031e+10 | 2.12%| unknown
L 993s| 1164 | 1149 |161992 | 49.7 | gins| 409 | 41k| 34k| 35k|4397 | 1 | 69 |7557 |
3.554610e+10 | 3.625804e+10 | 2.00%| unknown
L1000s| 1164 | 1149 |161992 | 49.7 | gins| 409 | 41k| 34k| 35k|4397 | 1 | 69 |7557 |
3.554610e+10 | 3.623675e+10 | 1.94%| unknown

```

Файл решения задачи доступен по ссылке https://disk.yandex.ru/d/2_FDqS70q0UBqA

Файл статистической сводки доступен по ссылке <https://disk.yandex.ru/d/SkRLoRYzQDI-Aw>

Вывод по сценарию: описанная выше метаконфигурация приводит к решению задачи, которое оказывается по отношению к результату на доменно-ориентированных эвристиках для последнего решения из пула допустимых целочисленных решений на 2.87% лучше в смысле целевой функции и на 36.08% – в смысле временных издержек (табл. 11).

В табл. 11 через SCIP+MC (a) обозначается решение, построенное на метаконфигурации SCIP, отвечающее *первому* допустимому целочисленному решению, верхняя граница которого не превышает верхнюю границу решения на доменно-ориентированных эвристиках, а через SCIP+MC (b) – решение, отвечающее *последнему* допустимому целочисленному решению в наборе полученных.

Синим цветом обозначен выигрыш в процентах.

Таблица 11. Сводка результатов анализа эффективности метаконфигурации FZBIVSUHPB. Сценарий 50197df7 с бинарными переменными

Способ	Полное время рас- чета, мин	Верхняя граница решения, $\times 10^{10}$
CBC+DOH	28.27	3.730552
SCIP+MC (a)	13.93 +50.73%	3.676991 +1.44%
SCIP+MC (b)	18.07 +36.08%	3.623675 +2.87%

6.2.4. Сценарий F398266B с бинарными переменными

Статистика

Общее количество переменных: 777271

Количество целочисленных переменных: 172449

Количество бинарных переменных: 2370

Количество ограничений: 655003

lp-файл: <https://disk.yandex.ru/d/4YFYJSB1I1wsmQ>

Анализ решения

Пул решений задачи был найден с помощью следующих первичных эвристик:

- DISTRIBUTIOINDIVING,
- ONEOPT,
- CROSSOVER.

Фрагмент лога сессии SCIP

...														
time	node	left	LP iter	LP it/n	mem/heur	mdpt	vars	cons	rows	cuts	sepa	confs	strbr	
dualbound			primalbound		gap		compl.							
d1163s	433	434	462507	790.8	distrib	51	59k	48k	49k	0	1	17	1387	
5.857793e+10			6.054807e+10		3.36%		unknown							
d1164s	433	434	462644	791.1	distrib	51	59k	48k	49k	0	1	17	1387	
5.857793e+10			6.054779e+10		3.36%		unknown							
d1164s	433	434	462746	791.3	distrib	51	59k	48k	49k	0	1	17	1387	
5.857793e+10			6.054778e+10		3.36%		unknown							
d1164s	433	434	462780	791.4	distrib	51	59k	48k	49k	0	1	17	1387	
5.857793e+10			6.054776e+10		3.36%		unknown							
d1164s	433	434	462801	791.4	distrib	51	59k	48k	49k	0	1	17	1387	
5.857793e+10			6.054776e+10		3.36%		unknown							
d1165s	433	434	462836	791.5	distrib	51	59k	48k	49k	0	1	17	1387	
5.857793e+10			6.054776e+10		3.36%		unknown							
d1165s	433	434	462856	791.6	distrib	51	59k	48k	49k	0	1	17	1387	
5.857793e+10			6.054774e+10		3.36%		unknown							
i1167s	434	433	463020	790.1	oneopt	51	59k	48k	49k	4333	0	17	1387	
5.857793e+10			6.053918e+10		3.35%		unknown							
1250s	500	501	531180	822.2	3321M	51	59k	48k	49k	4529	1	26	1402	
5.857793e+10			6.053918e+10		3.35%		unknown							
1579s	600	601	663342	905.6	3398M	51	59k	48k	49k	5175	1	36	1426	
5.857932e+10			6.053918e+10		3.35%		unknown							
L1892s	634	635	704819	922.5	crossove	55	59k	48k	49k	5448	2	41	1433	
5.858028e+10			6.021605e+10		2.79%		unknown							
i1895s	634	635	715376	939.1	oneopt	55	59k	48k	49k	5448	2	41	1433	
5.858028e+10			6.021603e+10		2.79%		unknown							
1952s	700	701	770566	929.4	3457M	63	59k	48k	49k	5644	1	50	1442	
5.858050e+10			6.021603e+10		2.79%		unknown							
2095s	800	801	879949	950.0	3489M	65	59k	48k	49k	5964	1	62	1476	
5.858065e+10			6.021603e+10		2.79%		unknown							

Файл решения задачи доступен по ссылке <https://disk.yandex.ru/d/KXzdrUx6TZbXEw>

Файл статистической сводки доступен по ссылке <https://disk.yandex.ru/d/FEroaFsr5zbkja>

Вывод по сценарию: описанная выше метаконфигурация приводит к решению задачи, которое оказывается по отношению к результату на доменно-ориентированных эвристиках для последнего решения из пула допустимых целочисленных решений на 0.97% лучше в смысле целевой функции и на 56.24% – в смысле временных издержек (табл. 12).

В табл. 12 через SCIP+MC (a) обозначается решение, построенное на метаконфигурации SCIP, отвечающее *первому* допустимому целочисленному решению, верхняя граница которого не превышает верхнюю границу решения на доменно-ориентированных эвристиках, а через SCIP+MC (b) – решение, отвечающее *последнему* допустимому целочисленному решению в наборе полученных.

Синим цветом обозначен выигрыш в процентах.

Таблица 12. Сводка результатов анализа эффективности метаконфигурации FZBIVSUHPB. Сценарий f398266b с бинарными переменными

Способ	Полное время рас- чета, мин	Верхняя граница решения, $\times 10^{10}$
CBC+DOH	72.17	6.080841
SCIP+MC (a)	19.38 +73.15%	6.054807 +0.43%
SCIP+MC (b)	31.58 +56.24%	6.021603 +0.97%

6.2.5. Сценарий 337 с бинарными переменными

Статистика

Общее количество переменных: 859230

Количество целочисленных переменных: 173622

Количество бинарных переменных: 155

Количество ограничений: 624637

lp-файл: <https://disk.yandex.ru/d/Kc11p9v7D-kxYA>

Анализ решения

Пул решений задачи был найден с помощью следующих первичных эвристик:

- INTSHIFTING,
- RENS,
- ONEOPT.

Фрагмент лога сессии SCIP

time	node	left	LP iter	LP it/n	mem/heur	mdpt	vars	cons	rows	cuts	sepa	confs	strbr
		dualbound	primalbound	gap	compl.								
r 107s	1	0	55407	-	intshift	0	56k	43k	45k	1799	13	0	0
		2.947544e+10	4.344720e+10	47.40%	unknown								
L 247s	1	0	55407	-	rens	0	56k	43k	45k	1799	13	0	0
		2.947544e+10	3.022206e+10	2.53%	unknown								
249s	1	0	55407	-	2785M	0	56k	43k	45k	1799	13	0	0
		2.947544e+10	3.022206e+10	2.53%	unknown								
i 250s	1	0	58839	-	oneopt	0	56k	43k	45k	1799	13	0	0
		2.947544e+10	3.022205e+10	2.53%	unknown								
250s	1	0	58839	-	2809M	0	56k	43k	45k	1799	13	0	0
		2.947544e+10	3.022205e+10	2.53%	unknown								
251s	1	0	58891	-	2813M	0	56k	43k	45k	1820	14	0	0
		2.947544e+10	3.022205e+10	2.53%	unknown								
251s	1	0	58900	-	2813M	0	56k	43k	44k	1824	15	0	0
		2.947544e+10	3.022205e+10	2.53%	unknown								
253s	1	0	59074	-	2816M	0	56k	43k	44k	1824	15	0	12
		2.947544e+10	3.022205e+10	2.53%	unknown								
254s	1	0	59236	-	2821M	0	56k	43k	44k	1918	16	0	12
		2.948327e+10	3.022205e+10	2.51%	unknown								

254s	1	0	59300	-	2821M	0	56k	43k	44k 1945	17	0	12
	2.948327e+10	3.022205e+10	2.51%	unknown								
255s	1	0	59321	-	2821M	0	56k	43k	44k 1945	17	0	19
	2.948327e+10	3.022205e+10	2.51%	unknown								
256s	1	0	59349	-	2825M	0	56k	43k	44k 1959	18	0	19
	2.948327e+10	3.022205e+10	2.51%	unknown								
256s	1	0	59352	-	2825M	0	56k	43k	44k 1964	19	0	19
	2.948327e+10	3.022205e+10	2.51%	unknown								
258s	1	0	59368	-	2825M	0	56k	43k	44k 1964	19	0	35
	2.957927e+10	3.022205e+10	2.17%	unknown								
259s	1	0	59451	-	2829M	0	56k	43k	44k 2014	20	0	35
	2.957927e+10	3.022205e+10	2.17%	unknown								
259s	1	0	59466	-	2829M	0	56k	43k	44k 2024	21	0	35
	2.957927e+10	3.022205e+10	2.17%	unknown								
259s	1	2	59466	-	2829M	0	56k	43k	44k 2024	21	0	35
	2.957927e+10	3.022205e+10	2.17%	unknown								

Файл решения задачи доступен по ссылке <https://disk.yandex.ru/d/zwVhKYKEMlMlQw>

Файл статистической сводки доступен по ссылке <https://disk.yandex.ru/d/T9sAbRH6uWh4Uw>

Вывод по сценарию: описанная выше метаконфигурация приводит к решению задачи, которое оказывается по отношению к результату на доменно-ориентированных эвристиках для последнего решения из пула допустимых целочисленных решений на ...% лучше в смысле целевой функции и на ...% – в смысле временных издержек (табл. 13).

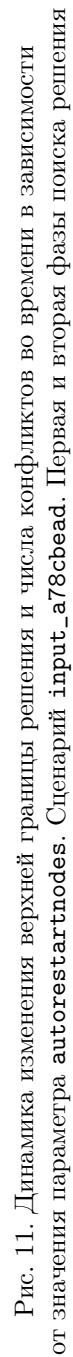
В табл. 13 через SCIP+MC (a) обозначается решение, построенное на метаконфигурации SCIP, отвечающее *первому* допустимому целочисленному решению, верхняя граница которого не превышает верхнюю границу решения на доменно-ориентированных эвристиках, а через SCIP+MC (b) – решение, отвечающее *последнему* допустимому целочисленному решению в наборе полученных.

Синим цветом обозначен выигрыш в процентах.

Таблица 13. Сводка результатов анализа эффективности метаконфигурации FZBIVSUHPB. Сценарий 337 с бинарными переменными

Способ	Полное время рас- чета, мин	Верхняя граница решения, $\times 10^{10}$
CBC+DOH	18.00	4.047865
SCIP+MC (a)	4.12 +77.11%	3.022206 +25.34%
SCIP+MC (b)	4.30 +76.11%	3.022205 +25.34%

Количество ограничений: 663175



[illegible]

Рис. 12. Динамика изменения верхней границы решения и числа конфликтов во времени в зависимости от значения параметра `autorestartnodes`. Сценарий `a78cbead`. Третья фаза поиска решения

Сценарий input_50197df7-ff50-es11-a2d7-005056a5ee74.json (3-ья фаза поиска решения)

Порог бинаризации: 0.151, релаксированное решение: SORT

Общее количество переменных: 720954

Количество целочисленных переменных: 159332

Количество бинарных переменных: 2490

Количество ограничений: 600777

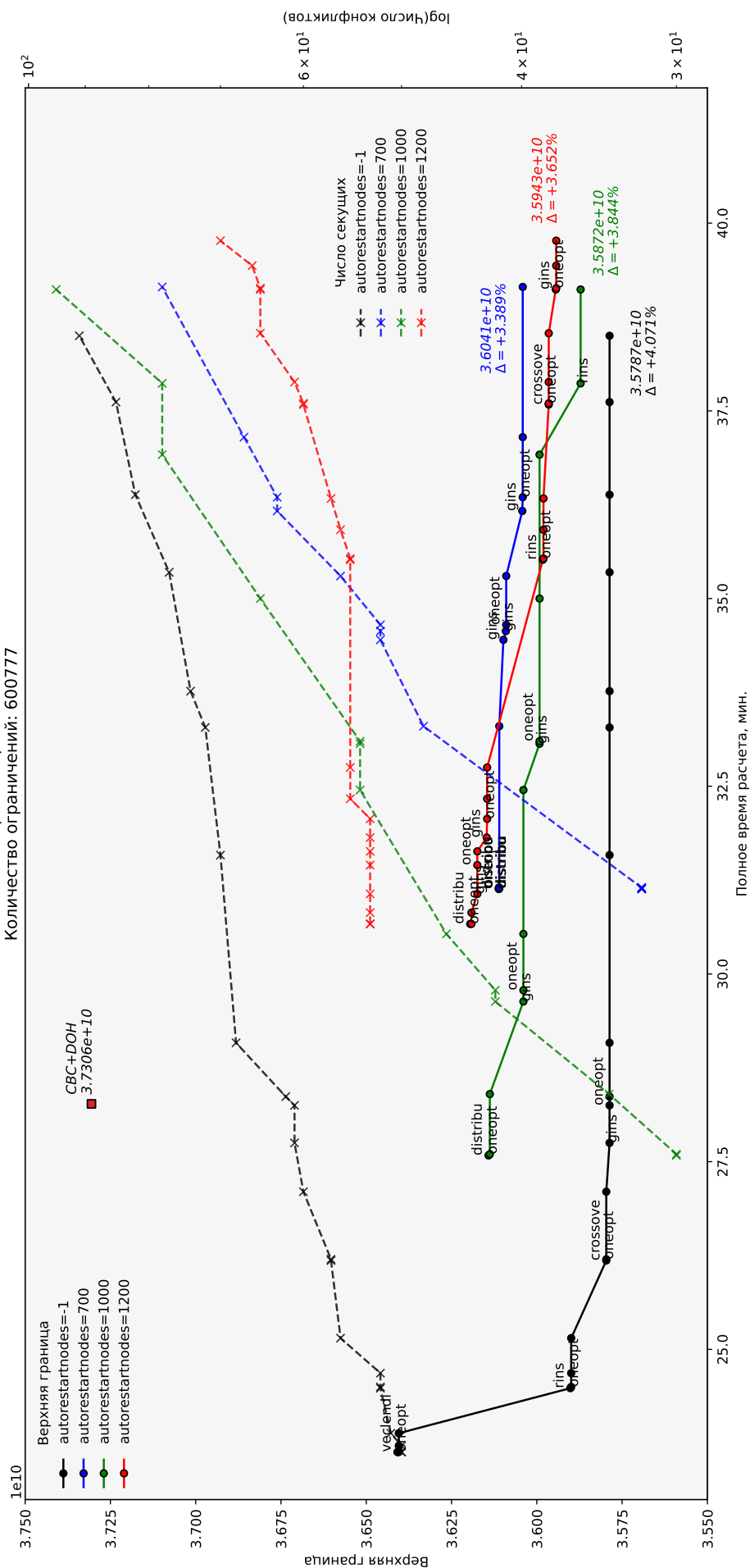


Рис. 13. Динамика изменения верхней границы решения и числа конфликтов во времени в зависимости от значения параметра autorestartnodes. Сценарий 50197df7. Третья фаза поиска решения

Количество ограничений: 545350



Стр. 35 из 38

6.3. Поиск решения на базе методов машинного и глубокого обучения

Условимся *сценарием обучающего поднабора* называть сценарий (математическую постановку задачи, описанную в терминах математического программирования) из коллекции сценариев, которые используются на *обучающей фазе* модели машинного обучения.

Сценарием тестового поднабора условимся называть сценарий, который используется для построения прогноза с помощью модели машинного обучения.

6.3.1. Простое декартово произведение сценариев с бинарными переменными

Рассмотрим *некоммутативные* пары вида «сценарий обучающего поднабора – сценарий тестового поднабора» подгруппы сценариев с бинарными переменными (см. раздел 6.2):

- 7fac4231_bin.lp,
- a78cbead_bin.lp,
- f398266b_bin.lp,
- 50197df7_bin.lp,
- 337_bin.lp.

Если коллекция сценариев содержит n сценариев, то существует $n(n - 1)$ возможных некоммутативных пар.

обучение на сценарии 7fac4231_bin.lp, тестирование на сценарии 50197df7_bin.lp

7. Описание вычислительных экспериментов на сценариях группы МВО

8. Описание вычислительных экспериментов на сценариях MIPLIB 2017

8.1. Сценарии со статусом «open»

8.1.1. Сценарий DLR2

<https://miplib.zib.de/WebData/instances/dlr2.mps.gz>

8.1.2. Сценарий CVRPA-N64K9VRPI

<https://miplib.zib.de/WebData/instances/cvrpa-n64k9vrpi.mps.gz>

8.2. Сценарии со статусом «hard»

8.2.1. Сценарий CRYPTANALYSISKB128N50BJ14

<https://miplib.zib.de/WebData/instances/cryptanalysiskb128n5obj14.mps.gz>

8.3. Сценарии со статусом «easy»

8.3.1. Сценарий NEOS-4332801-seret

<https://miplib.zib.de/WebData/instances/neos-4332801-seret.mps.gz>

Список иллюстраций

1	Зависимость верхней границы решения от доли бинарных переменных, выставленных в ноль. Сценарий <code>a78cbead</code>	8
2	Зависимость верхней границы решения от доли бинарных переменных, выставленных в ноль. Сценарий <code>337</code>	9
3	Сводка результатов анализа эффективности метаконфигурации SUN. Сценарий <code>f398266b</code> без бинарных переменных	14
4	Сводка результатов анализа эффективности метаконфигурации SUN. Сценарий <code>50197df7</code> без бинарных переменных	16
5	Сводка результатов анализа эффективности метаконфигурации SUN. Сценарий <code>7fac4231</code> без бинарных переменных	17
6	Сводка результатов анализа эффективности метаконфигурации SUN. Сценарий <code>ca485a55</code> без бинарных переменных	18
7	Сводка результатов анализа эффективности метаконфигурации SUN. Сценарий <code>276</code> без бинарных переменных	19
8	Сводка результатов анализа эффективности метаконфигурации SUN. Сценарий <code>337</code> без бинарных переменных	21
9	Сводка результатов анализа эффективности метаконфигурации SUN. Сценарий <code>13d686ab</code> без бинарных переменных	22
10	Сводка результатов анализа эффективности метаконфигурации SUN. Сценарий <code>a78cbead</code> без бинарных переменных	23
11	Динамика изменения верхней границы решения и числа конфликтов во времени в зависимости от значения параметра <code>autorestartnodes</code> . Сценарий <code>input_a78cbead</code> . Первая и вторая фазы поиска решения	32
12	Динамика изменения верхней границы решения и числа конфликтов во времени в зависимости от значения параметра <code>autorestartnodes</code> . Сценарий <code>a78cbead</code> . Третья фаза поиска решения	33
13	Динамика изменения верхней границы решения и числа конфликтов во времени в зависимости от значения параметра <code>autorestartnodes</code> . Сценарий <code>50197df7</code> . Третья фаза поиска решения	34
14	Динамика изменения верхней границы решения и числа конфликтов во времени в зависимости от значения параметра <code>autorestartnodes</code> . Сценарий <code>7fac4231</code> . Третья фаза поиска решения	35

Список таблиц

1	Сводка результатов анализа эффективности метаконфигураций SUN и FZBIVSUNPB. Сценарий <code>f398266b</code> без бинарных переменных	14
2	Сводка результатов анализа эффективности метаконфигураций SUN и FZBIVSUNPB. Сценарий <code>50197df7</code> без бинарных переменных	15
3	Сводка результатов анализа эффективности метаконфигураций SUN и FZBIVSUNPB. Сценарий <code>7fac4231</code> без бинарных переменных	16
4	Сводка результатов анализа эффективности метаконфигураций SUN и FZBIVSUNPB. Сценарий <code>ca485a55</code> без бинарных переменных	18

5	Сводка результатов анализа эффективности метаконфигураций SUN и FZBIVSUNPB. Сценарий 276 без бинарных переменных	19
6	Сводка результатов анализа эффективности метаконфигураций SUN и FZBIVSUNPB. Сценарий 337 без бинарных переменных	20
7	Сводка результатов анализа эффективности метаконфигураций SUN и FZBIVSUNPB. Сценарий 13d686ab без бинарных переменных	22
8	Сводка результатов анализа эффективности метаконфигураций SUN и FZBIVSUNPB. Сценарий a78cbead без бинарных переменных	23
9	Сводка результатов анализа эффективности метаконфигурации FZBIVSUNPB. Сценарий a78cbead с бинарными переменными	25
10	Сводка результатов анализа эффективности метаконфигурации FZBIVSUNPB. Сценарий 7fac4231 с бинарными переменными	27
11	Сводка результатов анализа эффективности метаконфигурации FZBIVSUNPB. Сценарий 50197df7 с бинарными переменными	28
12	Сводка результатов анализа эффективности метаконфигурации FZBIVSUNPB. Сценарий f398266b с бинарными переменными	30
13	Сводка результатов анализа эффективности метаконфигурации FZBIVSUNPB. Сценарий 337 с бинарными переменными	31

Список литературы

1. *Иванов* Конспект по обучению с подкреплением, 2022
2. *Жерон, О.* Прикладное машинное обучение с помощью Scikit-Learn и TensorFlow: концепции, инструменты и техники для создания интеллектуальных систем. – СПб.: ООО «Альфа-книга», 2018. – 688 с.
3. *Soenen J. etc.* The Effect of Hyperparameter Tuning on the Comparative Evaluation of Unsupervised Anomaly Detection Methods, 2021